

# فرسایش و رسوبگذاری در محدوده آبشکنها

نشریه شماره ۲۴۸

وزارت نیرو  
سازمان مدیریت منابع آب  
دفتر استاندارد مهندسی آب

سازمان مدیریت و برنامه ریزی کشور  
معاونت امور فنی  
دفتر امور فنی و تدوین معیارها  
<http://www.omran.net/tsb.mpo>

جمهوری اسلامی ایران

# فرسایش و رسوبگذاری در محدوده آبشکنها

نشریه شماره ۲۴۸

وزارت نیرو	سازمان مدیریت و برنامه‌ریزی کشور
سازمان مدیریت منابع آب ایران	معاونت امور فنی
دفتر استاندارد مهندسی آب	دفتر امور فنی و تدوین معیارها

۱۳۸۱

انتشارات سازمان مدیریت و برنامه‌ریزی کشور ۸۱/۰۰/۲۴

## فهرستبرگه

سازمان مدیریت و برنامه ریزی کشور. دفتر امور فنی و تدوین معیارها  
**فرسايش و رسوبگذاري در محدوده آش肯ها** / معاونت امور فنی، دفتر امور فنی و  
تدوین معیارها؛ وزارت نیرو، سازمان مدیریت منابع آب ایران، دفتر استاندارد مهندسی آب.-  
تهران: سازمان مدیریت و برنامه ریزی کشور، معاونت امور پشتیبانی، مرکز مدارک علمی و  
انتشارات، ۱۳۸۱.

۴۲ ص.: مصور.- (سازمان مدیریت و برنامه ریزی کشور. دفتر امور فنی؛ نشریه شماره  
(انتشارات سازمان مدیریت و برنامه ریزی کشور؛ ۸۱/۰۰/۳۴) ۲۴۸  
ISBN 964-425-342-0

مریبوط به بخششتمه شماره ۱۰۵/۴۵۶۹۸ ۱۳۸۱/۳/۱۹ مورخ  
کتابنامه: ص. ۴۲

۱. مهندسی رودخانه. ۲. رسوبهای رودخانه‌ای. ۳. سازه‌های هیدرولیکی. الف. سازمان  
مدیریت منابع آب ایران، دفتر استاندارد مهندسی آب. ب. سازمان مدیریت و برنامه ریزی کشور.  
مرکز مدارک علمی و انتشارات. ج. عنوان.

TC ۳۳۰/س۲۳۴ ف۴ ۱۳۸۱

ISBN 964-425-342-0 شابک ۹۶۴-۴۲۵-۳۴۲-۰

**فرسايش و رسوبگذاري در محدوده آش肯ها**  
تهیه کننده: معاونت امور فنی، دفتر امور فنی و تدوین معیارها  
ناشر: سازمان مدیریت و برنامه ریزی کشور. معاونت امور پشتیبانی. مرکز مدارک علمی و انتشارات  
چاپ اول: ۱۰۰۰ نسخه، ۱۳۸۱  
قیمت: ۵۰۰۰ ریال  
لیتوگرافی: قاسملو  
چاپ و صحافی: موسسه زحل چاپ  
همه حقوق برای ناشر محفوظ است.

بسمه تعالیٰ



## ریاست جمهوری

سازمان مدیریت و برنامه ریزی کشور

دفتر رئیس سازمان

شماره: ۱۰۵/۴۵۶۹۸

تاریخ: ۱۳۸۱/۳/۱۹

بخشنامه به دستگاه‌های اجرایی، مشاوران و پیمانکاران

موضوع: فرسایش و رسوبگذاری در محدوده آبشکنها

به استناد آیین نامه استانداردهای اجرایی طرح‌های عمرانی موضوع ماده ۲۳ قانون برنامه و بودجه و در چهارچوب نظام فنی و اجرایی طرح‌های عمرانی کشور (تصویب شماره ۱۴۸۹۸ ه/ت ۲۴۵۲۵) به مورخ ۱۳۷۵/۴/۴ هیأت وزیران) به پیوست، نشریه شماره ۲۴۸ دفتر امور فنی و تدوین معیارهای این سازمان، با عنوان «فرسایش و رسوبگذاری در محدوده آبشکنها» از نوع گروه سوم، ابلاغ می‌گردد.

دستگاه‌های اجرایی، مهندسان مشاور، پیمانکاران و عوامل دیگر می‌توانند از این نشریه به عنوان راهنمای استفاده نمایند و در صورتی که روشها، دستورالعمل‌ها و راهنمایی‌های بهتر در اختیار داشته باشند، رعایت مفاد این نشریه الزامی نیست.

عوامل یاد شده باید نسخه‌ای از دستورالعمل‌ها، روش‌ها یا راهنمایی‌های جایگزین را برای دفتر امور فنی و تدوین معیارهای این سازمان، ارسال دارند.

محمد ستاری‌فر

معاون رئیس جمهور و رئیس سازمان

## پیشگفتار

استفاده از ضوابط، معیارها و استانداردها در مراحل تهیه (مطالعات امکان سنجی) مطالعه و طراحی، اجرا، بهره‌برداری و نگهداری طرح‌های عمرانی بلحاظ توجیه فنی و اقتصادی طرحها، کیفیت طراحی و اجرا (عمر مفید) و هزینه‌های نگهداری و بهره‌برداری از اهمیتی ویژه برخوردار می‌باشد.

نظام فنی و اجرایی طرح‌های عمرانی کشور (تصویب مورخ ۱۳۷۵/۴/۴ هیأت محترم وزیران) بکارگیری معیارها، استانداردها و ضوابط فنی در مراحل تهیه و اجرای طرح و نیز توجه لازم به هزینه‌های نگهداری و بهره‌برداری در قیمت تمام‌شده طرحها را مورد تأکید جدی قرار داده است. با توجه به مراتب یاد شده و شرایط اقلیمی و محدودیت منابع آب در ایران، امور آب وزارت نیرو (طرح تهیه استانداردهای مهندسی آب کشور) با همکاری معاونت امور فنی سازمان مدیریت و برنامه‌ریزی کشور (دفتر امور فنی و تدوین معیارها) براساس ماده ۲۳ قانون برنامه و بودجه اقدام به تهیه استانداردهای مهندسی آب نموده است.

استانداردهای مهندسی آب با در نظر داشتن موارد زیر تهیه و تدوین شده است:

- استفاده از تخصصها و تجربه‌های کارشناسان و صاحبنظران شاغل در بخش عمومی و خصوصی
- استفاده از منابع و مأخذ معتبر و استانداردهای بین‌المللی
- بهره‌گیری از تجارب دستگاههای اجرایی، سازمانها، نهادها، واحدهای صنعتی، واحدهای مطالعه، طراحی و ساخت
- پرهیز از دوباره‌کاریها و اتلاف منابع مالی و غیرمالی کشور
- توجه به اصول و موازین مورد عمل مؤسسه استاندارد و تحقیقات صنعتی ایران و سایر مؤسسات تهیه‌کننده استاندارد

ضمن تشکر از کارشناسان محترم برای بررسی و اظهار نظر در مورد این استاندارد، امید است مجریان و دست‌اندرکاران بخش آب، با بکارگیری استانداردهای یاد شده، برای پیشرفت و خودکفایی این بخش از فعالیتهای کشور تلاش نموده و صاحبنظران و متخصصان نیز با اظهار نظرهای سازنده در تکامل این استانداردها مشارکت کنند.

## معاون امور فنی

## ترکیب اعضای کمیته

اسامی اعضای کمیته فنی شماره ۱۴-۱ (رسوب) که در تهیه استاندارد حاضر مشارکت داشته‌اند به ترتیب حروف

الفباء به شرح زیر می‌باشد :

فوق لیسانس آبیاری و آبادانی	دانشگاه شهید چمران	خانم زهرا ایزدپناه
فوق لیسانس منابع آب	دانشگاه خواجه نصیرالدین طوسی	آقای فیروز بهادری
فوق لیسانس هیدرولوژی	سازمان آب تهران	آقای سید جمال الدین پروردۀ
فوق لیسانس تأسیسات آبیاری	طرح تهیه استانداردهای مهندسی آب کشور	آقای فراز رابعی غلامی
دکترای هیدرولیک	دانشگاه تربیت مدرس	آقای جمال محمدولی سامانی
فوق لیسانس مهندسی منابع آب	شرکت توسعه منابع آب و نیروی ایران	آقای ابوالفضل سپهری منش

## فهرست مطالب

صفحه	عنوان
۱	مقدمه
۲	کلیات
۳	-۱ خصوصیات عمومی آبشکنها
۴	-۲ مروری بر انواع آبشکنها و نقش آنها در فرسایش و رسوبگذاری
۵	۱-۲ آبشکنها باز
۶	۲-۲ آبشکنها بسته
۹	۳ مشخصات عمومی آبشکنها
۱۴	-۴ بررسی الگوی جریان در دماغه و میدان آبشکنها
۱۹	-۵ تعیین رسوبگذاری در آبشکنها باز و بسته
۲۱	۱-۵ رسوبگذاری در آبشکنها بسته
۲۳	۲-۵ رسوبگذاری در آبشکنها باز
۲۶	۶ تعیین فرسایش در دماغه آبشکنها
۲۶	۱-۶ کلیات
۲۷	۲-۶ فرسایش در دماغه آبشکنها بسته
۳۷	-۷ فرسایش عمومی ناشی از احداث آبشکنها
۴۲	-۸ فهرست منابع و مأخذ

## کلیات

حفظت رودخانه در برابر فرسایش و تخریب ناشی از جریان آب با استفاده از آبشکنها<sup>۱</sup> از جمله روش‌های متدال در مهندسی رودخانه تلقی می‌شود. آبشکنها با تعدیل شرایط هیدرولیکی و ایجاد جریان آرام، قدرت فرسایشی آب و توان حمل مواد رسوبی را کاهش داده و زمینه مساعدی برای رسوبگذاری و ثبیت کناره‌ها فراهم می‌آورند. آبشکنها بر حسب مورد و شرایط رودخانه‌ای و اهداف موردنظر در شکلها و انواع مختلف طراحی و احداث می‌گردند. از دیدگاه کلی، آبشکنها را می‌توان به دو گروه عمده شامل آبشکنها باز و بسته طبقه‌بندی نمود. آبشکنها بسته‌یا نفوذناپذیر<sup>۲</sup> از جمله سازه‌های حفاظتی می‌باشند که برای دور ساختن جریان از ساحل و حواشی آسیب‌پذیر رودخانه یا ایجاد شرایط مساعد برای پاکسازی مسیر از انباسته‌های رسوبی در رودخانه‌های با بار بستر زیاد نظیر رودخانه‌های شریانی<sup>۳</sup> می‌توان از آنها استفاده نمود. در این نوع سازه‌ها سرعت جریان آب در میدان آبشکن<sup>۴</sup> تقلیل یافته و با ترسیب مواد رسوبی شرایط لازم پایداری در امتداد کناره‌ها فراهم می‌گردد. آبشکنها باز یا نفوذناپذیر<sup>۵</sup> نوع دیگری از سازه‌های حفاظتی هستند که معمولاً برای رودخانه‌هایی که دارای بار معلق زیاد می‌باشند می‌توان از آنها بهره جست. این آبشکنها نیز از نظر ساز و کار رسوبگذاری به اصل کاهش سرعت جریان متکی می‌باشند. با کاهش سرعت جریان، فرصت لازم برای تهشیبی مواد رسوبی و ثبیت بستر در حوضچه آشکن فراهم می‌آید.

سازه‌های آشکن هرچند با هدف رسوبگذاری و جلوگیری از فرسایش کناره‌ها و حواشی رودخانه و ثبیت موقعیت رودخانه احداث می‌گردند در عین حال خود تحت تاثیر پدیده فرسایش ناشی از تمرکز جریان بخصوص در قسمت دماغه<sup>۶</sup> می‌باشند. در قسمت دماغه، افزایش تنش‌های حاصله از افزایش سرعت و وقوع جریان چرخشی منجر به تشکیل چاله آبستگی<sup>۷</sup> گردیده و سلامت و استحکام سازه را به مخاطره می‌اندازد.

در این نشريه جنبه‌های مختلف رسوبگذاری و فرسایش در محدوده آبشکنها و فرآيندهای حاكم بر آنها مورد بحث و بررسی قرار گرفته و راههای ارزیابی کمی فرسایش و رسوبگذاری در محدوده آبشکنها ارائه شده است.

1- Groynes

2- Impermeable Groynes

3- Braided River

4- Groynes Field

5- Permeable or Pile Groynes

6- Head

7- Scour Hole

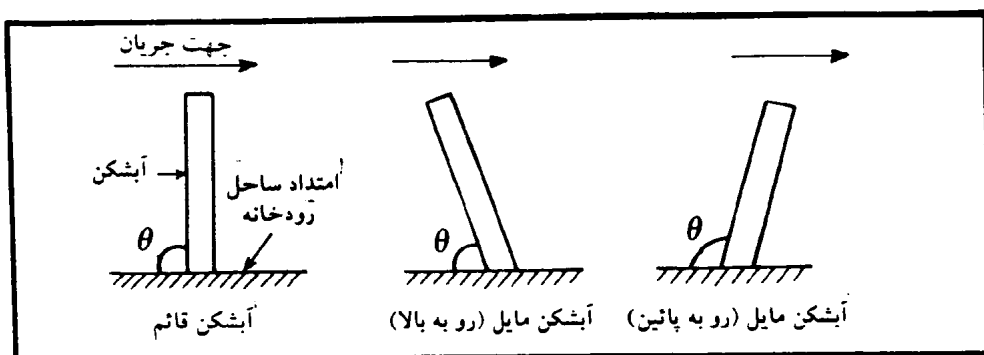
آبشکنها به لحاظ ساختار سازه‌ای ساده و قابلیت سازگاری با شرایط متنوع رودخانه‌ای دارای کاربرد وسیعی در طرحهای ساماندهی و به ویژه اقدامات ثبیت و پایدارسازی کناره‌ها می‌باشند. از اینرو بررسی و شناخت فرایند فرسایش و رسوبگذاری در محدوده آبشکنها از جنبه‌های مختلف طراحی، حفاظت و نگهداری دارای اهمیت است. از دیدگاه کمی، فرسایش و رسوبگذاری تابع عوامل مختلفی است که از آن جمله می‌توان به نوع آبشکن، ساختار سازه‌ای و هندسی، خصوصیات آب و رسوب و اهداف مهندسی اشاره نمود. نظر به اهمیت هریک از عوامل مزبور و نقش آنها در رفتار فرسایش و رسوبگذاری ناشی از سازه‌های آبشکن فصول ۱، ۲ و ۳ این نشریه به بررسی اجمالی انواع آبشکنها باز و بسته و معروفی خصوصیات هندسی، پلان و شکل عمومی آنها اختصاص داده شده است. بدیهی است. هدف اصلی از تنظیم این نشریه شناخت الگوهای ارائه راهکارهای ممکن برای تعیین کمیت فرسایش و رسوبگذاری در محدوده و میدان آبشکن که از عوامل مؤثر در طراحی اینگونه سازه‌ها تلقی می‌شود، می‌باشد. جنبه‌های طراحی آبشکنها در این نشریه موردنظر نمی‌باشد.

همانگونه که در متن گزارش نیز آورده شده هریک از مفاهیم فوق به نحوی در عملکرد فرسایش و رسوبگذاری تأثیرگذار می‌باشند. الگوی جریان که حاصل کنش واکنش سازه آبشکن و جریان رودخانه است سر منشاء وقوع فرسایشهای موضعی و تشکیل چاله آبشتگی در دماغه و رسوبگذاری فرآگیر در میدان آبشکن تلقی می‌شود. در فصل ۴ به بررسی این مهم و نظریه‌ها و دیدگاههای مختلف پرداخته شده است. بحث اصلی رسوبگذاری در محدوده آبشکنها و فرسایش در دماغه به ترتیب فصول ۵ و ۶ را شامل می‌شود. در فصل ۵ نحوه رسوبگذاری و روش‌های ارزیابی آن در محدوده آبشکنها باز و بسته ارائه گردیده و در این خصوص به نتایج چند مورد از کارهای تحقیقاتی انجام شده در کشور نیز اتکا شده است. در فصل ۶ روابط و معادلات مختلف ارائه شده توسط متخصصین برای ارزیابی عمق چاله فرسایش در دماغه آبشکنها باز و بسته معرفی گردیده و به اهمیت بهره‌گیری از مدل‌های فیزیکی در پیش‌بینی کم و کیف این فرایند نیز اشاره شده است. از آنجایی که احداث زنجیره آبشکنها کاهش مقطع جریان را در پی دارد و این امر فرسایشهای بازه‌ای و ممتد را در بلندمدت سبب می‌گردد، لذا در فصل ۷ به عنوان بحث تکمیلی به بررسی فرسایشهای عمومی و چگونگی فرمول‌بندی آن در شرایط احداث آبشکن پرداخته شده است. در فصول مختلف نشریه مثالهای کاربردی نیز برای آشنایی بیشتر با نحوه استفاده از روابط و معادلات و ارزیابی آنها آورده شده است.

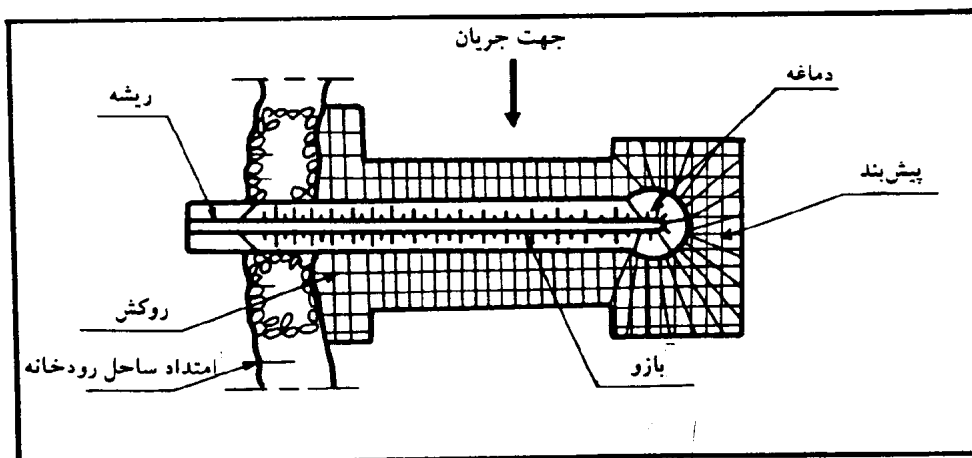
## ۱- خصوصیات عمومی آبشکنها

آبشکنها سازه‌هایی هستند که با هدف انحراف جریان از ساحل فرسایش پذیر رودخانه و یا ایجاد مسیر مناسب برای هدایت جریان و کنترل سیلان و بعضاً برقراری عمق لازم برای اهداف کشتیرانی احداث می‌گردند [۱]. همچنین تله‌اندازی و ترسیب مواد رسوبی و استحصال اراضی حاشیه رودخانه و نقش هدایت‌کننده آنها در انحراف جریان به سمت دهانه‌های آبگیر و به ویژه در شق نهر از دیگر اهداف موردنظر در احداث آبشکنها تلقی می‌شود.

سازه آبشکن اغلب با زاویه مشخصی نسبت به راستای جریان ساخته می‌شود و در این خصوص می‌توان مطابق شکل ۱-۱ از آبشکن‌های قائم و مایل نام برد. از نظر ساختاری سازه آبشکن عموماً از پنج جزء مشخص شامل دماغه، بازو<sup>۱</sup>، ریشه<sup>۲</sup>، پیش‌بند<sup>۳</sup> و روکش<sup>۴</sup> تشکیل شده است. در شکل ۱-۲ اجزای پنجگانه مذبور نشان داده شده است.



شکل ۱-۱- وضعیت قرار گرفتن آبشکن نسبت به راستای جریان



شکل ۱-۲- نمایش اجزاء مختلف سازه آبشکن

1- Shank

2- Root

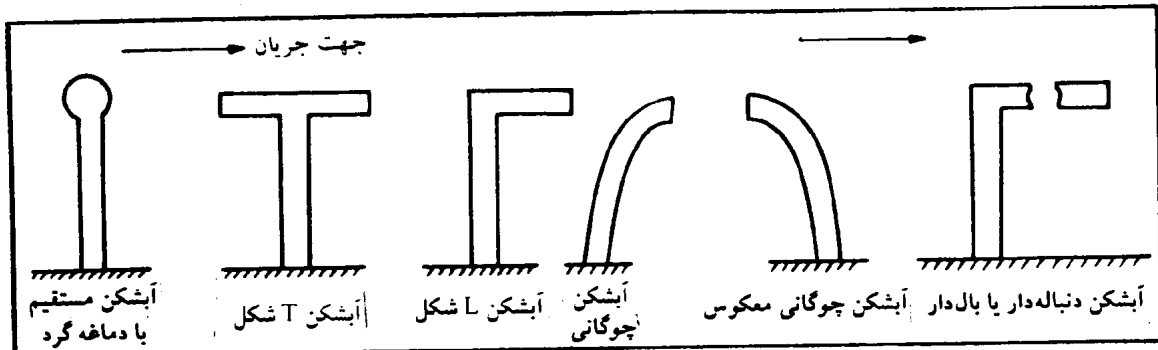
3- Aprone

4- Reventment

برای احداث آبشکنها از مواد و مصالح مختلفی از جمله سنگ، قلوه سنگ، مخلوط شن و ماسه، لوله و تیرک و الوارهای چوبی می‌توان بهره جست. عواملی که در طرح آبشکنها مدنظر قرار می‌گیرند به چهار گروه تقسیم می‌گردد:

- خصوصیات هیدرولیک جریان
- خصوصیات مسیر رودخانه
- خصوصیات رسوب رودخانه
- سایر عوامل

براساس عوامل مذکور می‌توان نسبت به انتخاب نوع آبشکن (بسته یا باز) و همچنین تعیین سایر مشخصات فنی نظیر زاویه میل نسبت به جهت جریان، شکل آبشکن، طول، ارتفاع، تعداد سازه، فواصل آبشکنها، وضعیت رسوبگذاری در میدان آبشکنها و همچنین عمق فرسایش در دماغه سازه و راههای مقابله با آن، اتخاذ تصمیم نمود. با توجه به اهداف و شرایط رودخانه‌ای آبشکن‌های مختلفی نظیر آبشکن مستقیم با دماغه گرد<sup>۱</sup>، آبشکن T شکل<sup>۲</sup>، L شکل<sup>۳</sup>، آبشکن چوگانی<sup>۴</sup>، چوگان معکوس<sup>۵</sup> و آبشکن بالداریا دنباله‌دار<sup>۶</sup> می‌توان استفاده نمود. در شکل ۱-۳ تقسیم‌بندی آبشکنها براساس شکل آنها نشان داده شده است.



شکل ۱-۳- نمایش انواع آبشکنها براساس شکل سازه

## ۲- مروری بر انواع آبشکنها و نقش آنها در فرآیند فرسایش و رسوبگذاری

هدف عمده از احداث آبشکنها دور ساختن جریان از ساحل فرسایشی، فراهم آوردن شرایط لازم برای رسوبگذاری در امتداد کناره‌ها و ثابت موقعیت رودخانه می‌باشد. برای اطمینان از عملکرد آبشکنها آگاهی از فعل و افعالات

1- Straight Round Head

2- T-Head

3- L-Head

4- Hokey

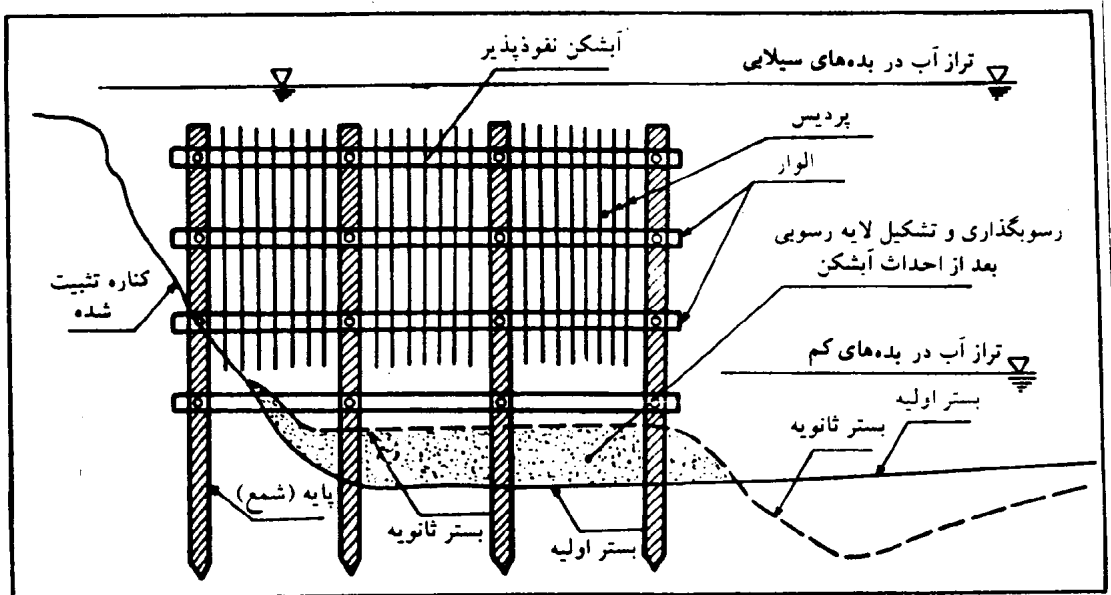
5- Inverted Hokey

6- Wing or Tail Groyne

فرسایشی و فرآیند رسوبگذاری در محدوده آنها ضروری است. در زیر خصوصیات انواع آبشکنها از نظر فرآیند فرسایش و رسوبگذاری بررسی شده است.

## ۱-۲ آبشکن‌های باز

همانطوری که قبلاً اشاره شد آبشکن‌های باز عموماً در رودخانه‌هایی که دارای میزان بار معلق زیادی است ساخته می‌شود [۱]. با کاهش سرعت جریان در میدان آبشکن مواد رسوبی سریعاً ترسیب یافته و با ایجاد یک لایه رسوبی ضخیم ضمن دور ساختن جریان فرسایشی از محدوده آبشکن شرایط پایداری لازم را برای حفاظت کناره‌ها فراهم می‌آورد. در شکل ۱-۲ نمونه‌ای از عملکرد یک آبشکن باز (نفوذپذیر) در ایجاد لایه رسوبی و حفاظت کناره‌ها نشان داده شده است.



شکل ۱-۲- نمونه‌ای از یک آبشکن نفوذپذیر و نقش آن در ایجاد لایه رسوبی و ثبیت کناره رودخانه

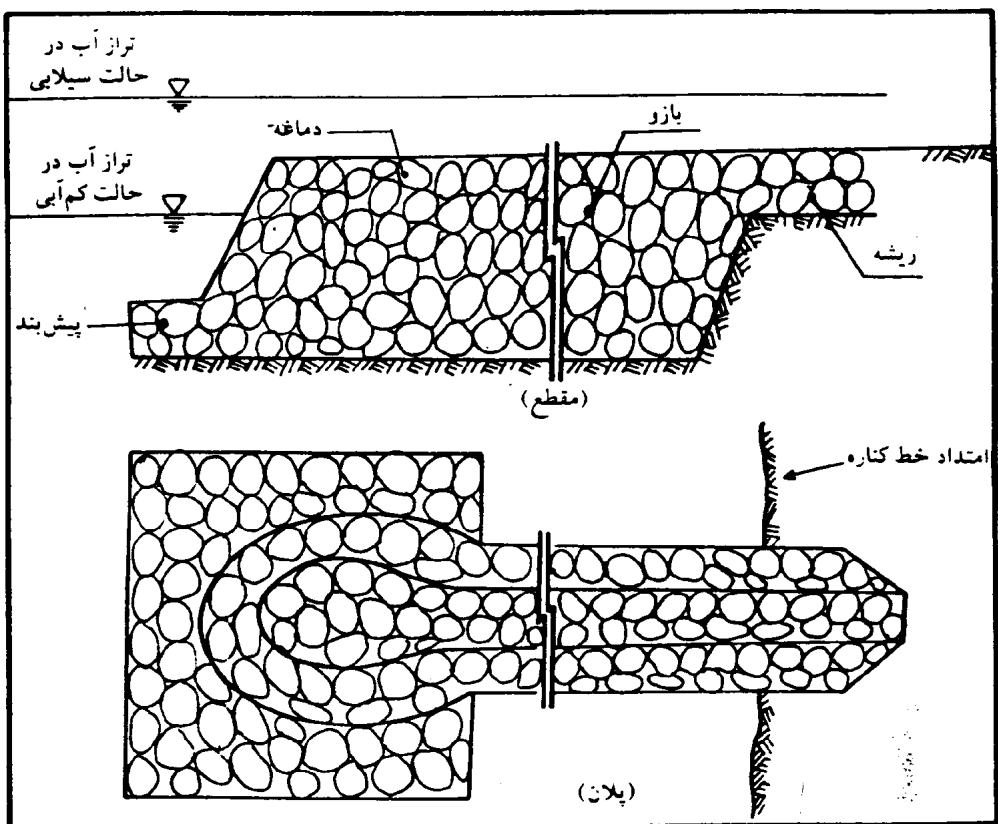
آبشکن‌های باز سازگاری خوبی با شرایط استغراق<sup>۱</sup> دارند. این نوع آبشکنها برخلاف آبشکن‌های بسته اختلال شدیدی در الگوی جریان ایجاد نمی‌کنند. از طرفی آبشکن‌های باز در مقابل فشارهای ناشی از تجمع شاخ و برگ و سایر اشیاء شناوری که بخصوص در موقع سیلانی توسط جریان آب به دیواره آبشکنها هجوم می‌آورد آسیب‌پذیر می‌باشند، زیرا

1- Submerged Condition

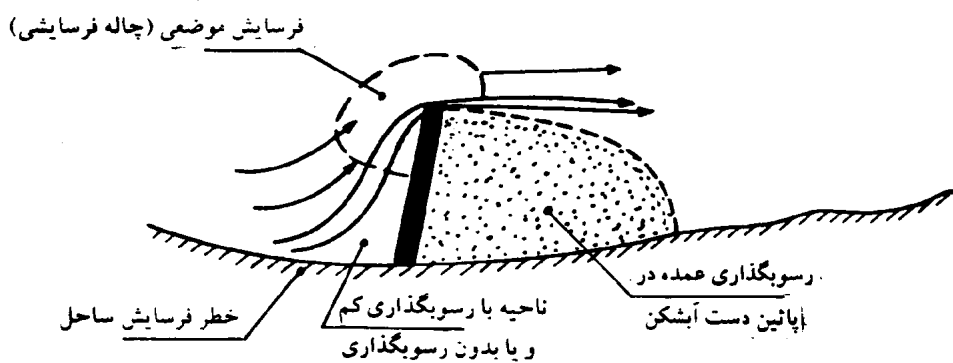
با مسدود شدن فضای بین شمع ها، فشار واردہ بر سازه آبشکن افزایش یافته و موجبات تخریب آنرا فراهم می آورد. برای احداث آبشکن های باز با توجه به ملاحظات اقتصادی و اهداف موردنظر می توان از الوار چوبی و یا شمع های ساخته شده از بتون مسلح و در مواردی از لوله های فولادی بهره جست.

## ۲-۲ آبشکنها بسته

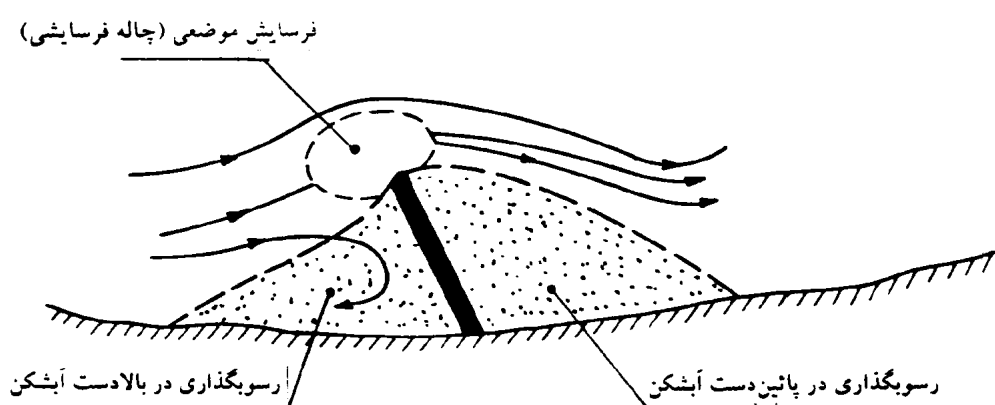
در این نوع آبشکنها از مصالح سنگی نظیر لشه سنگ، قلوه سنگ و یا قطعات توری سنگی<sup>۱</sup> استفاده می شود. با دور شدن جریان فرسایشی از محدوده آبشکنها شرایط لازم برای ترسیب مواد رسوبی نیز فراهم گردیده و به مرور زمان لایه ای از رسوبات در فضای بین آبشکنها تشکیل می گردد. در شکل ۲-۲ نمونه یک آبشکن بسته و در شکل ۳-۲ وضعیت رسوبگذاری در محدوده آبشکنها به صورت منفرد و زنجیره ای نشان داده شده است.



شکل ۲-۲- پلان و مقطع یک آبشکن بسته (ساخته شده از لشه سنگ).



الف - وضعیت رسویگذاری و فرسایش در محدوده یک آشکن بسته (از نوع جذبی)



ب - وضعیت رسویگذاری و فرسایش در محدوده یک آشکن بسته (از نوع دفعی)



پ - وضعیت رسویگذاری در سری آشکن‌های بسته (از نوع جذبی)

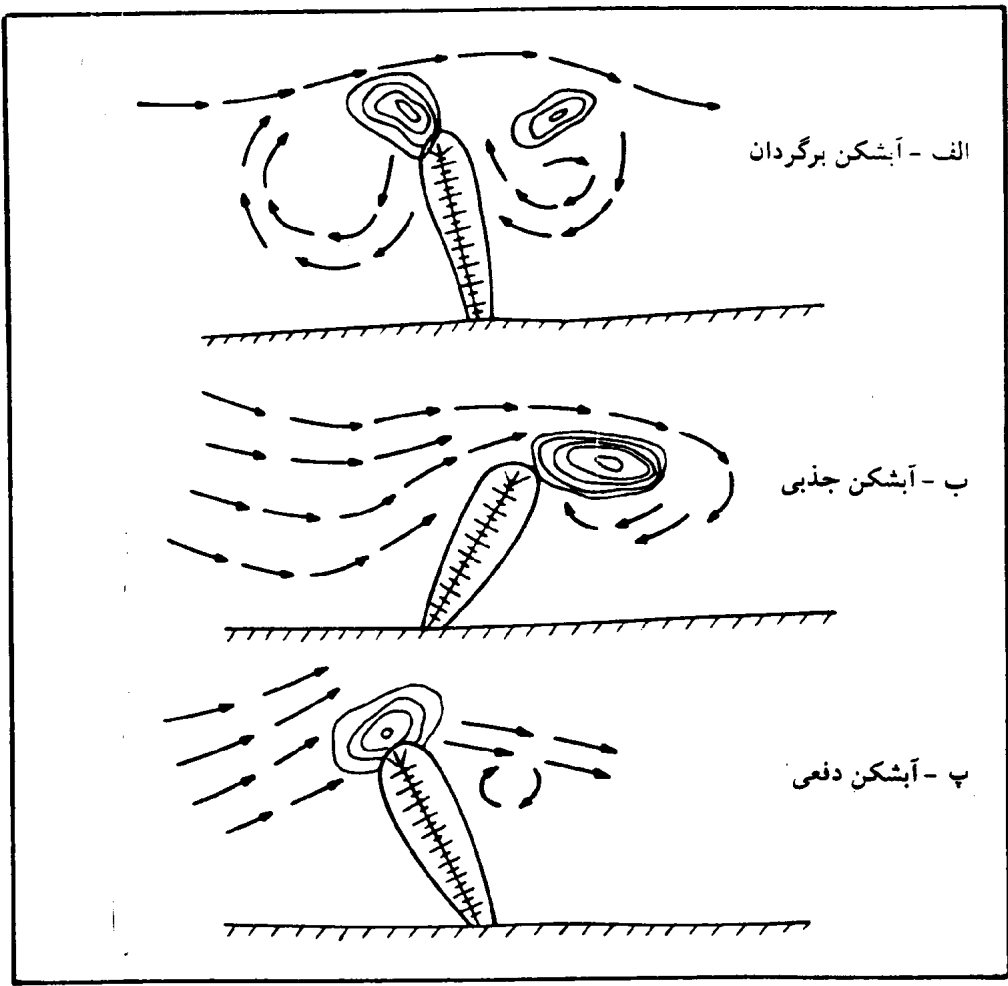


ت - وضعیت رسویگذاری در سری آشکن‌های بسته (از نوع دفعی)

شکل ۳-۲- نمایش وضعیت رسویگذاری در محدوده آشکنها (در حالت منفرد و زنجیره‌ای)

همانطور که در شکل ۳-۲ نشان داده شده است وضعیت رسویگذاری در آبشنکنها تابعی از شکل آرایش آنها می‌باشد. از این رو آبشنکنها بسته را بر حسب حالت قرار گرفتن نسبت به امتداد جریان به سه گروه زیر تقسیم می‌کنند (شکل‌های ۳-۲ و ۴-۲).

- آبشنکن‌های جذبی<sup>۱</sup> که در آن محور آبشنکن به سمت پائین تمایل دارد و این امر موجب می‌گردد تا جریان آب به میدان آبشنکن متمایل گردد. بعلاوه در این نوع آبشنکن ساحل مقابل از انحراف جریان حاصله از سازه متاثر نمی‌گردد.
- آبشنکن‌های دفعی<sup>۲</sup> که در آن محور آبشنکن به سمت بالا تمایل دارد. در این حالت غالباً جریان آب از محدوده آبشنکن به سمت ساحل مقابل رانده شده و آنرا تحت تاثیر قرار می‌دهد.
- آبشنکن‌های برگردان<sup>۳</sup> که در آن فقط مسیر جریان بصورت محدود از اطراف سازه منحرف می‌گردد.



شکل ۴-۲- حالت کلی آبشنکن‌های سه گانه مورد استفاده در رودخانه‌ها از نظر انحراف جریان

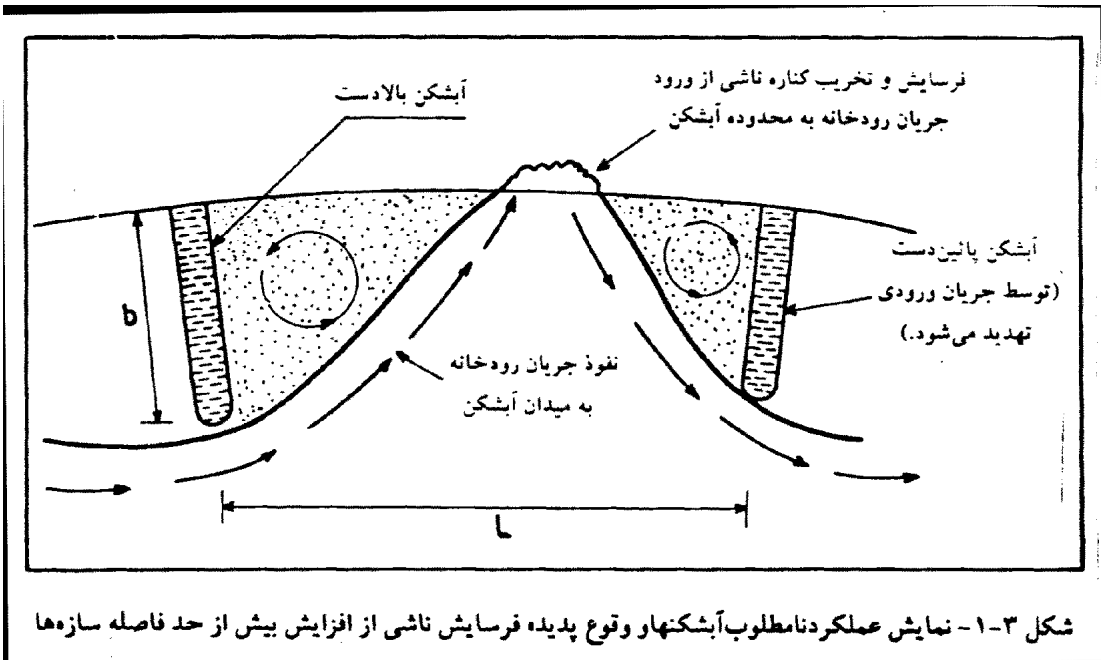
1- Attracting Groyne

2- Repelling Groyne

3- Deflecting Groyne

### -۳- مشخصات عمومی آبشكنهای

عملکرد آبشكنهای از نظر فرسایش و رسوبگذاری عموماً تابعی از فاصله، طول، راستا و شکل آنها می‌باشد. چنانچه فاصله آبشكنهای بیش از حد لازم انتخاب شود این احتمال وجود دارد که جریان رودخانه وارد میدان آبشكن گردیده و موجبات فرسایش کناره‌ها را فراهم آورد. بعلاوه این امر اینمی‌آبشكن پایین دست را نیز به مخاطره می‌اندازد و مانع تشکیل لایه رسوبی یکپارچه در فضای بین آبشكنهای می‌شود. شکل ۱-۳ وضعیت جریان را در محدوده آبشكن در حالتی که فاصله سازه‌ها بیش از حد متعارف است نشان می‌دهد.

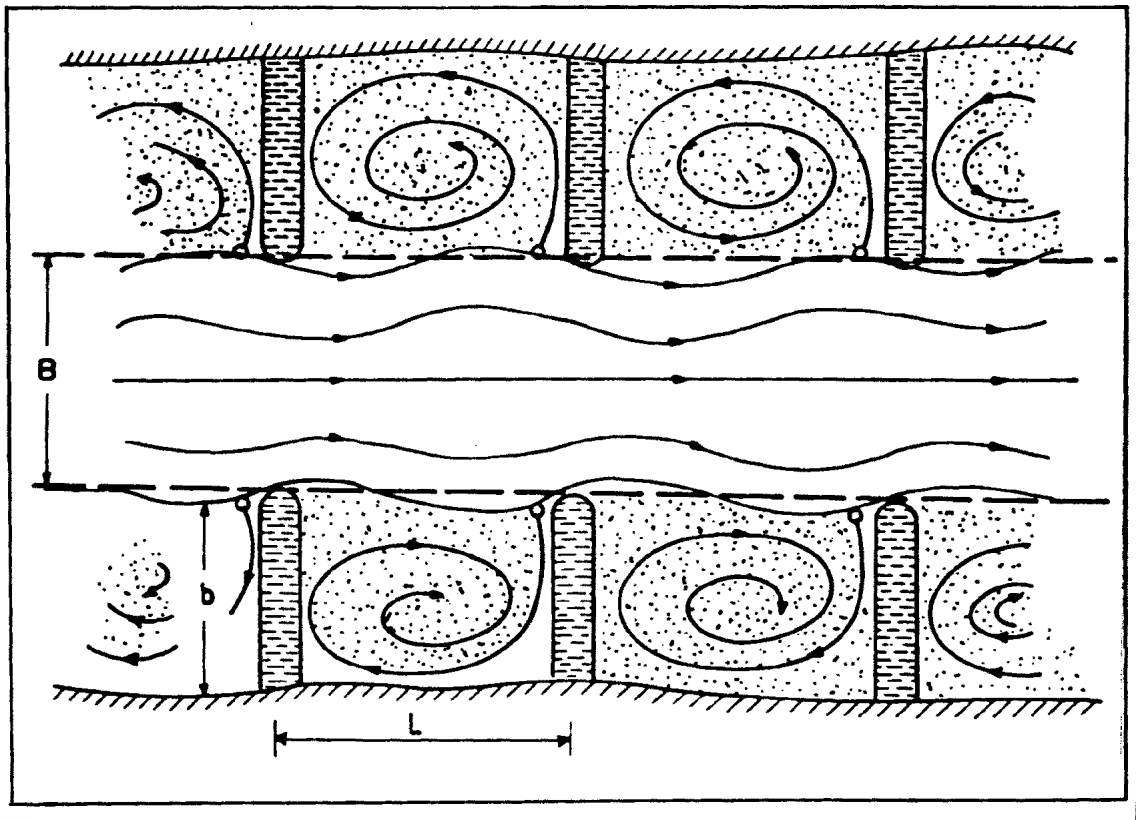


شکل ۱-۳ - نمایش عملکرد نامطلوب آبشكنهای وقوع پدیده فرسایش ناشی از افزایش بیش از حد فاصله سازه‌ها

طبق بررسیهای انجام شده برای عملکرد مطلوب آبشكنهای (تشکیل لایه رسوبی و پایدارسازی کناره‌ها و برقراری جریان منظم در رودخانه) بهتر است رابطه ذیل رعایت شود [۲]:

$$L < \alpha \frac{C^r h}{\gamma g} \quad \alpha < 0.6 \quad (1-3)$$

در این رابطه  $L$  فاصله آبشكنهای (بر حسب متر)،  $C$  ضریب شزی و  $h$  عمق جریان (بر حسب متر) در رودخانه،  $\alpha$  ضریب اصلاحی و  $g$  شتاب ثقل می‌باشد، برقراری رابطه فوق موجب می‌گردد تا مطابق شکل ۲-۳ یک گرداب منفرد و فرآگیر در میدان آبشكن تشکیل گردد. وقوع این حالت ترسیب یکنواخت‌تر مواد رسوبی در میدان آبشكن و عملکرد مطلوب آن را به دنبال دارد.



شکل ۲-۳- نمایش چگونگی تأثیر فاصله مناسب آبشارها در تشکیل گرداب منفرد و رسوبگذاری مطلوب و برقراری جریان منظم در رودخانه

علاوه بر فاصله، طول آبشارها نیز در عملکرد رفتاری آنها از نظر فرسایش و رسوبگذاری مؤثر است. براساس تحقیقات انجام شده در آزمایشگاه هیدرولیک دلفت هلند [۲] نسبت  $2 < \frac{L}{b}$  مناسب تشخیص داده شده است، و از این رو انتخاب آبشارهای کوتاه چندان مطلوب نمی‌باشد چه باعث افزایش نسبت مزبور می‌گردد. ممکن است  $\frac{L}{b}$  همچنین رابطه کلی ذیل را در انتخاب  $L$  و  $b$  پیشنهاد کرده‌اند [۱]:

$$L \approx B \approx b \quad (2-3)$$

در این رابطه  $B$  عرض کنترل شده رودخانه (شکل ۲-۳) و  $L$  و  $b$  به ترتیب فاصله و طول آبشارها می‌باشد. همانطوریکه از رابطه (۲) بر می‌آید در انتخاب طول و فاصله آبشارها بعضی از محققین توجه به عرض رودخانه ( $B$ ) را نیز توصیه نموده‌اند. در جدول ۳-۱ نسبتهای پیشنهادی برای  $\frac{L}{b}$  و  $\frac{L}{B}$  توسط بعضی از منابع درج گردیده است [۱].

جدول ۳-۱- نسبتهاي پيشنهادي برای تعين فاصله و طول آبشكنها توسيط برخى از محققين [۱]

ملاحظات	نوع ساحل رودخانه	نسبت پيشنهاد شده		نويسنده يا مرجع	رديف
		L/B	L/b		
کاربردهای عمومی	قوس خارجی	-	۱	سازمان ملل <sup>۱</sup>	۱
کاربردهای عمومی	قوس داخلی	-	۲/۵-۲	(گروه اقتصادي) (۱۹۵۳)	
آبشكن دفعي	-	-	۲/۵-۲	جاگلکار <sup>۲</sup> (۱۹۷۱)	۲
-	-	۱	۳-۲	ممک <sup>۳</sup> (۱۹۵۶)	۳
-	-	۱-۲	-	جانسن و همكاران <sup>۴</sup> (۱۹۷۹)	۴
آبشكنهای شبیدار برای حفاظت ساحل	مستقيم	-	۶/۳-۵/۱	مزآلوارز <sup>۵</sup> (۱۹۸۹)	۵
	انحنادار	-	۴-۲/۵		

راستاي آبشكنها نسبت به مسیر جريان نيز تأثير عمداهای در عملكرد آنها از نظر جابجايی و انتقال مواد رسوبجي دارد. براساس تحقيقات انجام شده توسيط آكانتيس و همكاران<sup>۶</sup> آبشكنهایي که رو به پايان ساخته می شوند (آبشكنهای جذبي) از نظر ميزان رسوبگذاري در ميدان آبشكن و مسئله فرسايش در محدوده سازه از عملكرد خوبی برحوردارند. در جدول ۳-۲ زاويه انحراف آبشكنها نسبت به امتداد جريان براساس نظريه کارشناسان مختلف ارائه شده است. در اين جدول مطابق شكل ۱۰ علامت  $\phi$  معرف زاويه انحراف آبشكن است.

1- United Nations

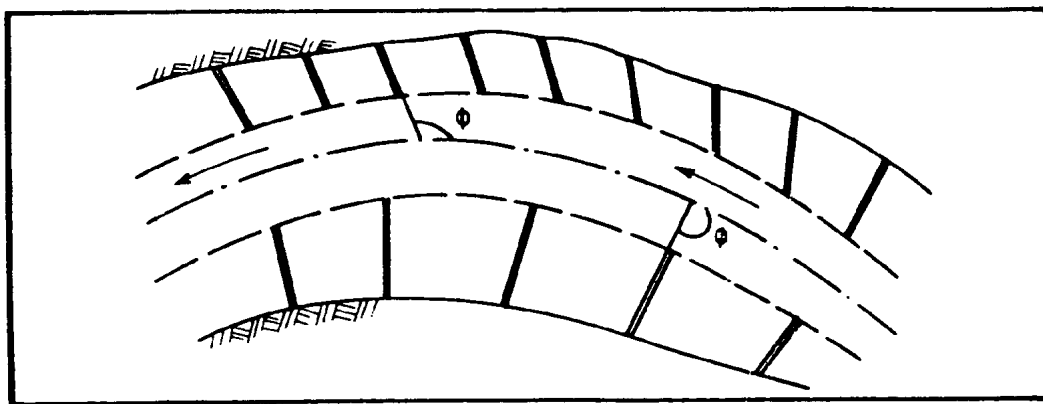
2- Joglekar

3- Mamak

4- Jansen et al.

5- Maza Alvarez

6- Akantisz et al.



شکل ۳-۳- زاویه انحراف آبشکن ( $\phi$ ) نسبت به مسیر جریان

جدول ۲-۳- مقادیر پیشنهادی برای زاویه انحراف آبشکن ( $\phi$ ) [۲]

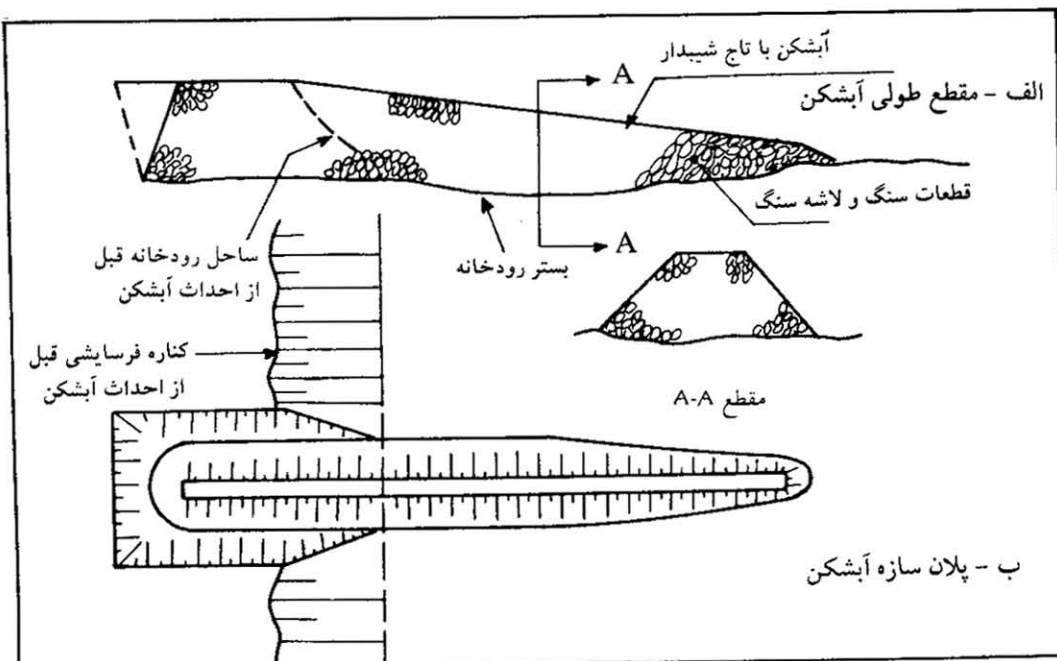
شماره	مرجع	اندازه $\phi$ (درجه)	ملاحظات
۱	سازمان ملل	۱۲۰ - ۱۰۰	آبشکن‌های دفعی
۲	ممک	۱۱۰ - ۱۰۰	آبشکن‌های دفعی
۳	جاگلکار	۱۲۰ - ۱۰۰	آبشکن‌های دفعی
۴	"	۶۰ - ۳۰	آبشکن‌های جذبی
۵	ماکورا <sup>۱</sup>	۱۱۰	قوس خارجی
۶	"	۱۰۰	بازه مستقیم
۷	"	۹۰	قوس داخلی
۸	کاپلند <sup>۲</sup>	۹۰	قوس داخلی
۹	آکانتیس و همکاران	۶۵	آبشکن جذبی
۱۰	مزآلوارز	۷۰	آبشکن جذبی

براساس بررسیهای انجام گرفته آبشکن‌های دفعی موجب تشدید فرسایش در دماغه و ایجاد چاله فرسایشی عمیق‌تری می‌شوند. از آنجائیکه یکی از اهداف احداث آبشکن برقراری شرایط لازم برای ترسیب مواد رسوبی در میدان آبشکن

می باشد. لذا در طراحی آبشکنها این مسئله مورد توجه قرار می گیرد. آبشکنها دفعی در مقایسه با آبشکنها قائم  $\phi = 90^\circ$  موجب افزایش رسوبگذاری (بخصوص در جناح پایین دست) میدان آبشکن می گردد. در این نوع آبشکنها با تشکیل یک گرداب فعال (هسته چرخشی) مواد معلق موجود در آب در میدان آبشکن (و بویژه در محدوده بالادست آبشکن) ترسیب می نماید (چگونگی رسوبگذاری در محدوده آبشکنها دفعی و جذبی در شکل ۳-۲ نشان داده شده است). آبشکنها جذبی برای حفاظت سواحل فرسایشی رودخانه چندان مناسب نمی باشند. در این نوع آبشکنها جریان فعال نفوذی به میدان آبشکن اغلب موجب تخریب و فرسایش کناره ها گردیده و به نوبه خود سلامت سازه آبشکن را نیز به مخاطره می اندازد. آبشکنها قائم نیز محدوده حفاظتی کمتری را پوشش می دهند. از اینرو آبشکنها دفعی در مقایسه با سایر انواع آبشکنها برای حفاظت کناره ها از خطر فرسایش و همچنین تحقق اهداف رسوبگذاری و تشکیل لایه رسوبی ضخیم در فضای بین سازه ای مناسب می باشند.

علاوه بر فاصله و راستا، شکل آبشکنها در عملکرد فرسایش و رسوبگذاری و پیامدهای حاصله از آن مؤثر است. در آبشکنها مستقیم معمولاً برای کاهش فرسایش موضعی و جلوگیری از گسترش چاله فرسایشی قسمت دماغه پهن تر انتخاب می شود. در این خصوص سه حالت مشخص شامل آبشکن مستقیم با دماغه پهن (معمولًا دایره ای)، آبشکن T شکل و آبشکن L شکل قابل ذکر است (شکل ۳-۱). در آبشکن L شکل میزان رسوبگذاری در میدان آبشکن در مقایسه با انواع دیگر بطور محسوسی بیشتر است. بعلاوه حفاظت کناره ها توسط این نوع آبشکن به خوبی انجام می گیرد و گسترش چاله فرسایشی در دماغه آن نیز خفیف تر می باشد. بررسیهای انجام گرفته نشان می دهد که در آبشکنها چوگانی گسترش چاله فرسایشی در دماغه در مقایسه با آبشکنها T شکل از وسعت بیشتری برخوردار است و به لحاظ تشدید فرسایش در دماغه چندان مورد توجه نمی باشند. آبشکنها دنباله دار یا بالدار نیز که دارای دماغه کشیده و ممتد در امتداد مسیر جریان هستند ترانشه فرسایشی بالتبه ممتدی را در امتداد دماغه ایجاد می کنند.

همچنین شکل مقطع طولی آبشکنها از نظر عملکرد در مقابل پدیده فرسایش بخصوص در موقع سیلابی حائز اهمیت است. طبق بررسیهای انجام گرفته توسط مزاالوارز آبشکنها با تاج شیبدار (آبشکنها یکی که ارتفاع آنها از ساحل به سمت رودخانه کاهش می یابد) برای حفاظت کناره ها در مقابل فرسایش مناسب تر می باشند. بعلاوه در این نوع آبشکنها عمق چاله فرسایشی به مراتب کمتر بوده و سرعت رسوبگذاری در میدان آبشکن در مقایسه با آبشکنها با تاج افقی زیادتر است. در شکل ۴-۳ نمونه ای از یک آبشکن با تاج شیبدار نشان داده شده است.

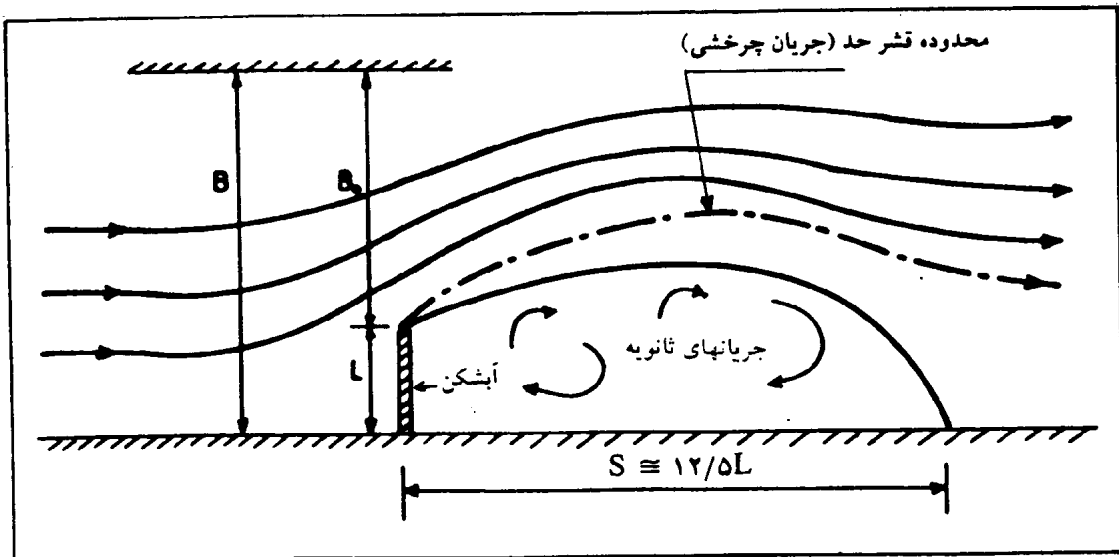


شکل ۳-۴- نمونه‌ای از یک آبشکن با تاج شیبدار (برای کاهش فرسایش در دماغه و تسريع در رسوبگذاری)

#### ۴- بورسی الگوی جریان در دماغه و میدان آبشکنها

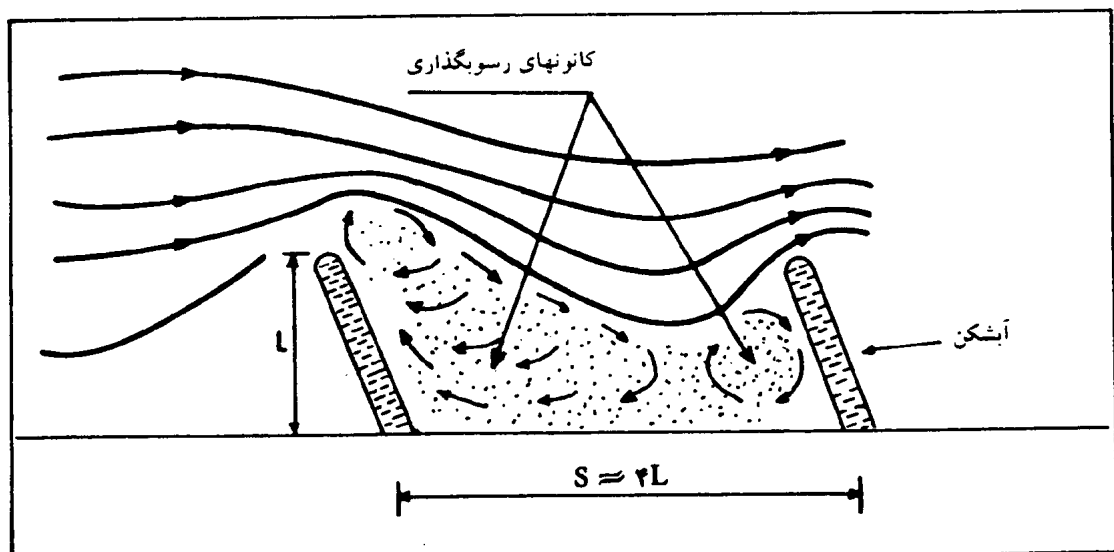
آبشکنها با کاهش دادن مقطع رودخانه، الگوی جریان را بطور محسوسی تحت تأثیر قرار می‌دهند. خطوط جریان با نزدیک شدن به سازه آبشکن آرایش خود را تغییر داده و به تبعیت از ساختار هندسی، نوع سازه (آبشکن نفوذپذیر یا غیرقابل نفوذ) و سایر مشخصات فنی مربوط الگوهای متفاوتی از جریان در دماغه و میدان آبشکن پدیدار می‌گردد. ایجاد فرسایش در دماغه و یا در امتداد بدنه آبشکن و همچنین رسوبگذاری در محدوده بین دو سازه از نوع ویژگی الگوی جریان پیروی می‌کند<sup>۱</sup>. علاوه تعیین فاصله و طول آبشکنها و همچنین امتداد نسبت به خط ساحلی و بطور کلی بسیاری از مشخصه‌های فنی مستلزم توجه به الگوی جریان ایجاد شده در محدوده آبشکن می‌باشد. در شکل ۴-۱ چگونگی تأثیر آبشکن منفرد بر آرایش خطوط جریان رودخانه نشان داده شده است [۲]. همانطوریکه از شکل ۴-۱ برمی‌آید وجود آبشکن ضمن انحراف خطوط جریان، ناحیه بالنسبه وسیعی از جریان ثانویه را بوجود می‌آورد.

۱- علاوه بر الگوی جریان، دانه‌بندی و نحوه حرکت مواد بستر نیز در ایجاد فرسایش و رسوبگذاری نقش دارد.



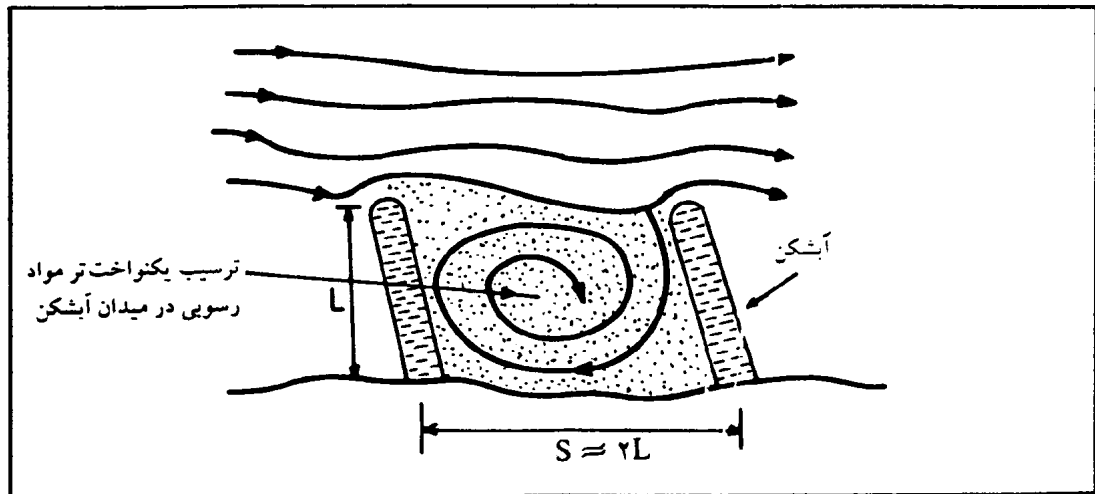
شکل ۴-۱- تأثیر سازه آبشکن بر وضعیت جریان رودخانه و پدیدآمدن میدان جریان ثانویه

در شکل ۲-۴ الگوی جریان در محدوده دو آبشکن متواالی نشان داده شده است. مطابق شکل مزبور جریانهای چرخشی در دماغه و میدان آبشکن عاملی برای فرسایش و رسوبگذاری تلقی می‌شود. بعلاوه در این سیستم نسبت فاصله به طول آبشکن برابر چهار است ( $\frac{S}{L} = 4$ ) یعنی فاصله آبشکنها بیشتر می‌باشد و باعفوذ جریان فعال رودخانه به میدان آبشکن امکان تشکیل گرداب منفرد و ترسیب یکنواخت رسوب وجود ندارد. چنین الگوی جریانی از نظر فرسایش و رسوبگذاری در محدوده آبشکن چندان مطلوب نمی‌باشد.



شکل ۴-۲- نمونه‌ای از الگوی جریان در محدوده بین دو آبشکن

فاصله آبشکنها تأثیر عمده‌ای بر الگوی جریان و به تبع آن نحوه رسوب‌گذاری در میدان آبشکن دارد. در شکل ۳-۴ الگوی جریان در محدوده دو آبشکن نشان داده شده است. در این سیستم نسبت  $\frac{S}{L}$  بوده واز اینرو امکان تشکیل گرداب منفرد و توزیع یکنواخت‌تر رسوب محقق می‌شود.



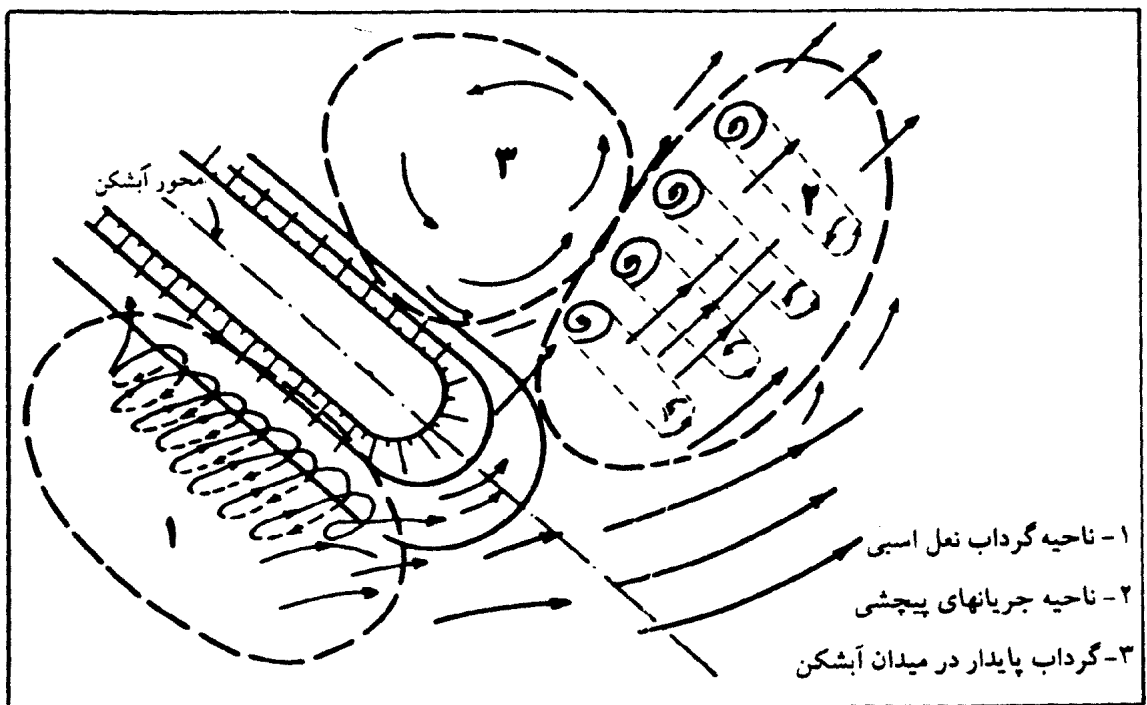
شکل ۳-۴ نمونه‌ای از تأثیر فاصله آبشکنها در تغییر الگوی جریان و تشکیل گرداب منفرد

جزئیات بیشتری از الگوی جریان در دماغه آبشکن بسته در شکل ۴-۴ آورده شده است. مطابق شکل مذبور در اثر برخورد جریان آب با دماغه یک نیم گرداب نعل اسپی<sup>۱</sup> بالنسبه بزرگ تشکیل می‌شود (ناحیه ۱). زنجیره جریانهای چرخشی حاصل از این گرداب به سمت جلوتر حرکت کرده و در پایین دست دماغه (ناحیه ۲) با تشدید فرسایش و انتقال موضعی مواد رسوبی تشکیل چاله فرسایشی را در پی دارد. گرداب ایجاد شده در میدان آبشکن (ناحیه ۳) به نوبه خود با جریانهای چرخشی ایجاد شده در دماغه در تداخل و تبادل دائمی می‌باشد. از اینرو مجموعه فرایندهای سینماتیک و دینامیک بوجود آمده الگوی جریان پیچیده‌ای را در دماغه و میدان آبشکن بوجود می‌آورد که پیش‌بینی تبعات فرسایشی و رسوب‌گذاری ناشی از آن چندان آسان نمی‌باشد.

مطالعاتی که توسط کاپلن<sup>۲</sup> بر روی آبشکنها انجام گرفته است [۱] مشخصاً شش الگوی جریان را در محدوده و میدان آبشکنها مشخص می‌کند. در شکل ۵-۴ الگوی جریان برای شش حالت مذبور نشان داده شده است. در الگوی نوع اول فاصله آبشکنها به گونه‌ای است که یک گرداب منفرد فراگیر در میدان آبشکن تشکیل گردیده و این حالت موجب پخش بالنسبه همگن و یکنواخت مواد رسوبی ورودی به میدان آبشکن می‌گردد.

1- Half - horseshoe Vortex

2- Copeland

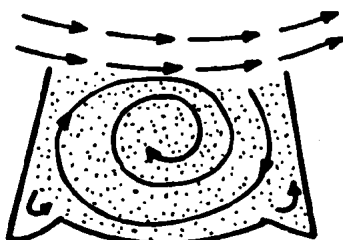


شکل ۴-۴- نمونه‌ای از الگوی جریان در دماغه آبشکن‌های بسته و بعضی جنبه‌های سینماتیک آن

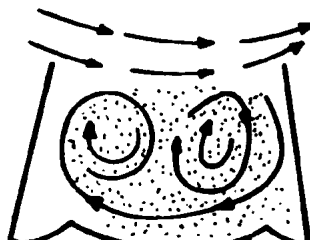
در نوع دوم، افزایش فاصله آبشکنها سبب شکسته شدن گرداب منفرد و تشکیل دو هسته چرخشی تقریباً متقارن می‌شود. این امر تشکیل دو کانون رسویگذاری عمدت در میدان آبشکن را به دنبال دارد. در حالت سوم، جریان رودخانه به درون میدان آبشکن نفوذ می‌نماید و دیواره آبشکن پائین دست را تحت تأثیر قرار می‌دهد. در چنین شرایطی الگوی جریان حالت متقارن خود را از دست داده و متناسب با آن فرایند فرسایش و رسویگذاری دستخوش تغییر می‌گردد. حالت چهارم، شرایط تشدید شده حالت سوم است که در آن با نفوذ بیشتر جریان فعال رودخانه به محدوده میدان آبشکن جریانهای چرخشی فرساینده در امتداد شاخه آبشکن بالادست و پائین دست بیش از پیش تشدید گردیده و یک جریان چرخشی فعال در ناحیه میانی شکل می‌گیرد. با افزایش فاصله آبشکنها نوع پنجم از الگوی جریان را می‌توان مشاهده کرد که در آن جریان نفوذی مستقیماً با کناره (ساحل) رودخانه برخورد نموده و جریان گردابی تشکیل شده در طرفین حالت متقارنی را دارا می‌باشد. در این حالت دامنه رسویگذاری در میدان آبشکن محدود بوده و حوزه فرسایش در محدوده آبشکن گسترش می‌یابد. در حالت ششم فاصله آبشکنها باز هم افزایش یافته و جریان فرسایشی رودخانه بر قسمت عمدتی از میدان آبشکن تسلط دارد و علاوه بر سازه آبشکن باعث تخریب و فرسایش کناره نیز می‌گردد.

### نوع اول و دوم:

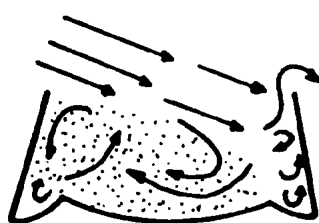
جريان فعال رودخانه به خارج از میدان آبشکن رانده می‌شود و رسوبگذاری حالت یکتواخت تری دارد.



نوع اول



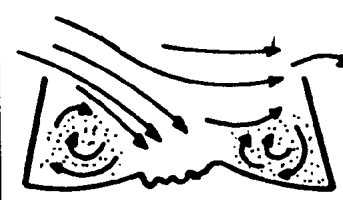
نوع دوم



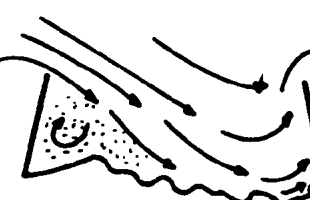
نوع سوم



نوع چهارم



نوع پنجم



نوع ششم

### نوع سوم و چهارم:

جريان فعال رودخانه به میدان آبشکن نفوذ کرده و سازه آبشکن پائین دست را تهدید می‌نماید و رسوبگذاری را دچار اختلال می‌نماید.

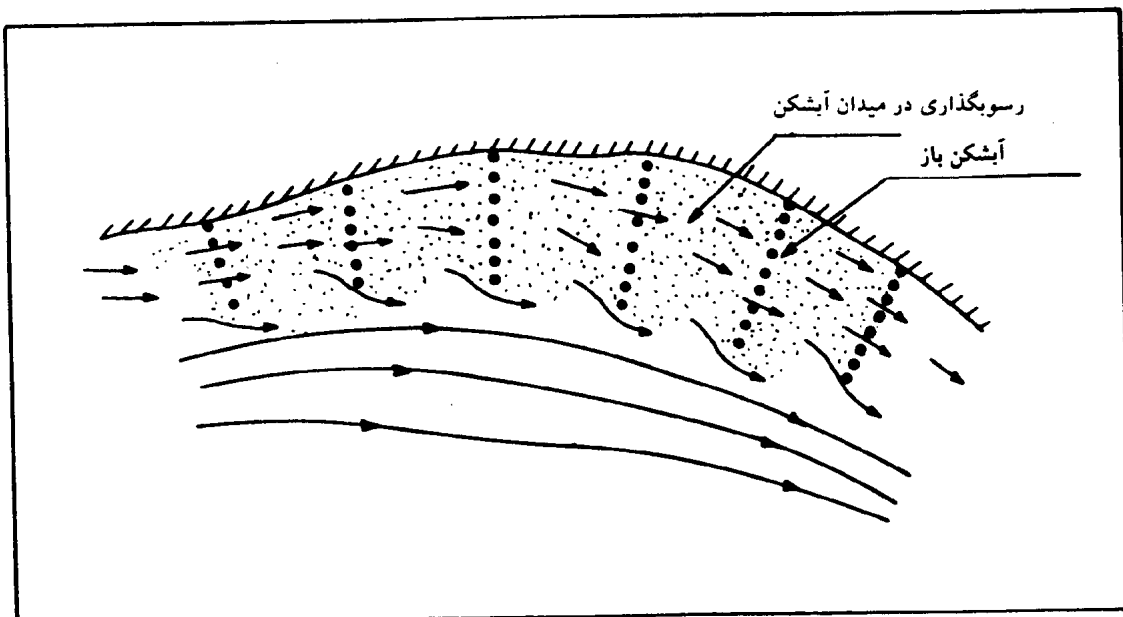
### نوع پنجم و ششم:

جريان فعال رودخانه در میدان آبشکن گسترش یافته موج تخریب کناره‌ها و ناهنجاریهای ناشی از تشدید فرسایش گردیده و فرایند رسوبگذاری را عملآ مختل می‌نماید.

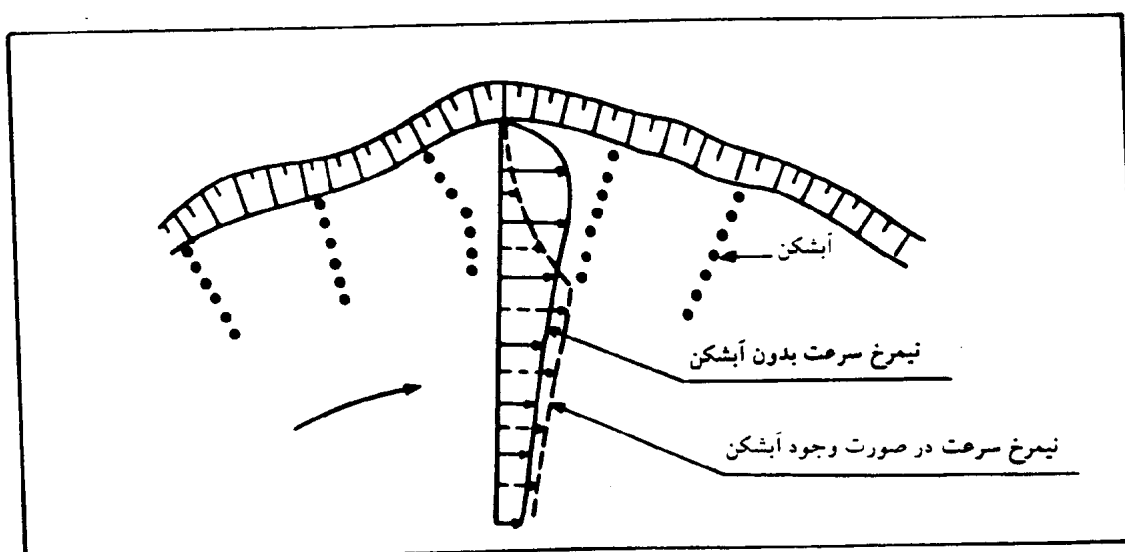
شکل ۴-۵-الگوی جريان ایجاد شده در محدوده آبشکنهای بسته در حالات مختلف

الگوی جريان در آبشکنهای باز (نفوذپذیر) اساساً متفاوت از آبشکنهای بسته (نفوذناپذیر) می‌باشد. در اين نوع آبشکنهای با نفوذ بخشی از جريان رودخانه به میدان آبشکن تشکيل جريان گردابی ميسر نمی‌باشد. بعلاوه مطابق شکل ۶-۴ انحراف جريان در دماuge آبشکنهای نفوذپذير چندان حاد نیست. همانگونه که در مباحث پيشين اشاره شد کاهش سرعت جريان عمل رسوبگذاري را در محدوده آبشکن امکان‌پذير می‌نماید.

همانگونه که از شکل ۶-۴ بر می‌آيد جريانهای گردابی و پیچشی به گونه‌ای که در آبشکنهای بسته متداول است در آبشکنهای باز مشهود نمی‌باشد. در شکل ۷-۴ نمونه‌ای از چگونگي الگوی توزيع سرعت در محدوده آبشکنهای باز نشان داده شده است. مطابق شکل مذبور وجود آبشکن نيمرح سرعت را در داخل و خارج از میدان آبشکن متأثر می‌نماید لکن اين تأثيرپذيری موجب ناهنجاري سينماتيك محسوسی نمی‌باشد.



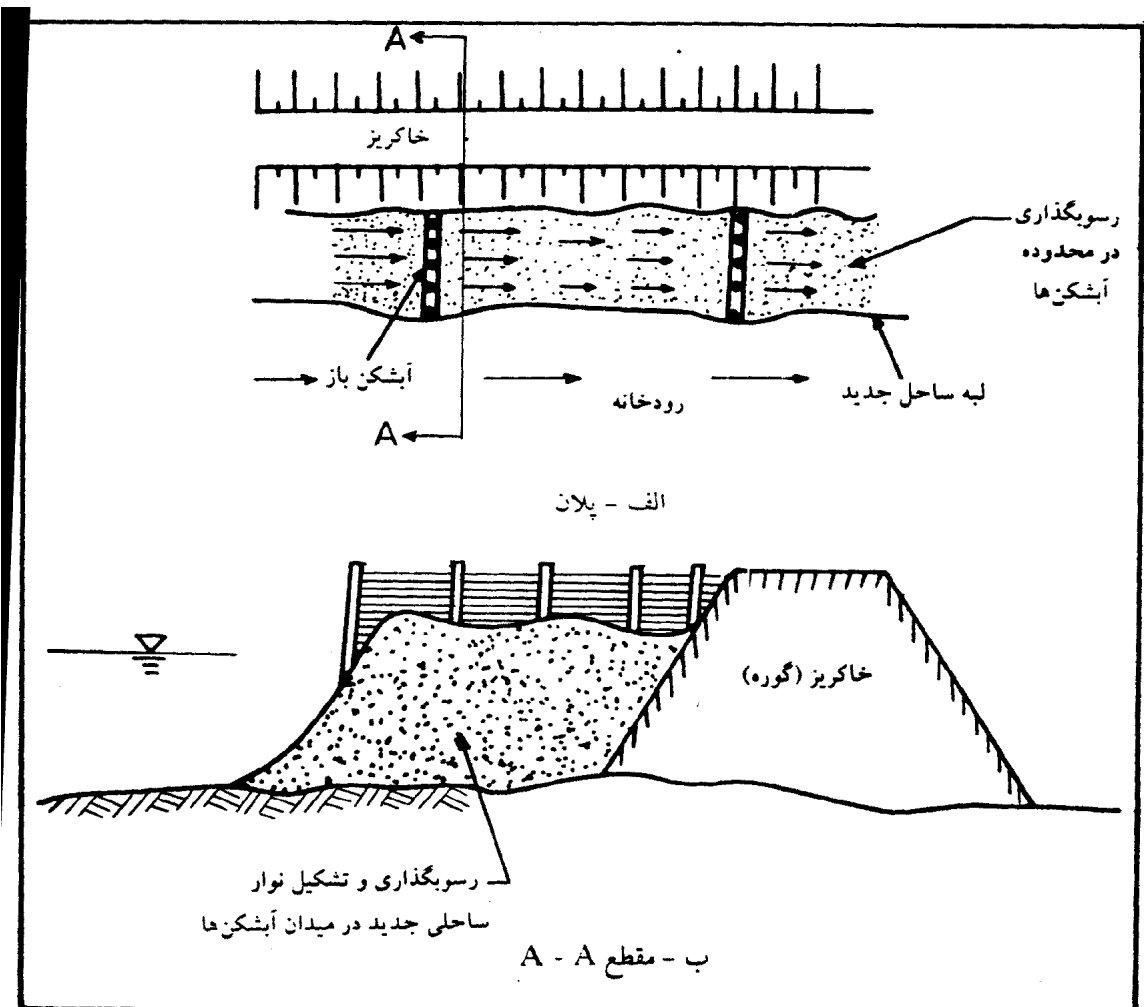
شکل ۴-۶- نمایش ساختار الگوی جریان در محدوده آبشکنهای باز



شکل ۴-۷- نمونه‌ای از الگوی توزیع سرعت در محدوده آبشکنهای باز

##### ۵- بررسی و تعیین رسویگذاری در آبشکنهای باز و بسته

با احداث آبشکن، سرعت جریان آب کاهش یافته و بخشی از مواد رسوبی حمل شده توسط رودخانه در میدان آبشکن رسوب می‌نماید. این فرایند به مرور زمان ممکن است به تشکیل ساحل جدید در مسیر رودخانه اصلی منجر شود. در شکل ۱-۵ چگونگی تشکیل نوار ساحلی جدید در محدوده آبشکنهای باز نشان داده شده است [۳].



شکل ۱-۵- رسوبگذاری و تشكیل نوار ساحلی جدید در میدان آبشکنها

همانگونه که اشاره رفت علت عدمه ترسیب مواد رسوبی در میدان آبشکن کاهش سرعت جریان می‌باشد. از اینرو لازم است سرعت جریان در محدوده آبشکن به کمتر از سرعت آستانه حرکت دانه‌های رسوب مطابق رابطه زیر تقلیل پیدا کند.

$$V_n < V_c \quad (1-5)$$

در رابطه فوق  $V_n$  سرعت جریان در میدان آبشکن و  $V_c$  سرعت آستانه حرکت دانه‌های رسوب (سرعت بحرانی) می‌باشد. معمولاً قطر نظیر پنجاه درصد مواد تشكیل دهنده بستر  $D_50$  یا قطر متوسط هندسی دانه‌ها ( $D$ ) برای تعیین  $V_c$  ملاک عمل قرار می‌گیرد. روابط متعددی برای تعیین  $V_c$  توسط محققین معرفی شده است از جمله لئی شینکف رابطه ذیل را برای تعیین سرعت آستانه حرکت دانه‌های رسوب معرفی نموده است [۱]:

$$V_c = 1/6 \sqrt{gD} \left(\frac{h}{D}\right)^{1/2} \quad (2-5)$$

در این معادله  $V_c$  سرعت آستانه حرکت دانه‌های رسوب بر حسب متر بر ثانیه،  $D$  قطر متوسط دانه‌ها (متر)،  $h$  عمق جریان آب (متر) و  $g$  شتاب ثقل (متر بر مجدور ثانیه) می‌باشد.

علاوه بر سرعت بحرانی (سرعت آستانه حرکت دانه‌ها)، سرعت سقوط دانه‌ها در تحلیل رسوبگذاری مورد استفاده قرار می‌گیرد. از جمله معادلات ارائه شده برای تعیین  $V_s$  (سرعت سقوط دانه‌ها) رابطه‌ای است که توسط انشتین<sup>۱</sup> ارائه شده است [۴] :

$$V_s = 0.66 \sqrt{gD} (G_s - 1) \quad (3-5)$$

در رابطه فوق  $V_s$  سرعت سقوط دانه (متر بر ثانیه)،  $G_s$  چگالی دانه‌ها (برای دانه‌های غیر چسبنده معمولاً برابر با ۲/۶۵ می‌باشد) و  $g$  شتاب ثقل (متر بر مجدور ثانیه) است.

### ۱-۵ رسوبگذاری در آبشکن‌های بسته

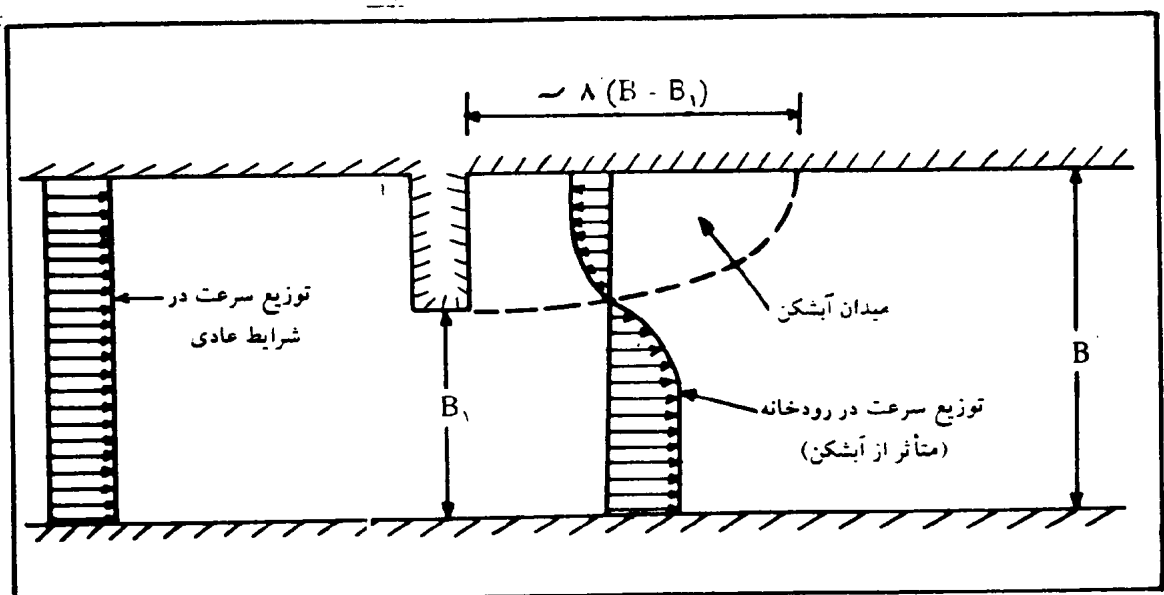
در آبشکن‌های بسته، تشكیل گرداب و بوجود آمدن جریان چرخشی در میدان آبشکن موجب می‌گردد که ترسیب مواد معلق بصورت یکنواخت تری امکان پذیر گردد. وجود آبشکن سرعت جریان آب را کاهش داده و این طریق فرصت برای تهشیین مواد رسوبی معلق فراهم می‌گردد. مطالعات انجام گرفته توسط سلاتینا<sup>۲</sup> بعضی جنبه‌های حاکم بر رسوبگذاری در میدان آبشکن‌های بسته را روشن می‌سازد [۱]. برای تحلیل نحوه رسوبگذاری، سلاتینا توزیع سرعت در میدان جریان یک آبشکن منفرد را مطابق شکل ۲-۵ معرفی کرده است.

وسعت محدوده رسوبگذاری در پشت آبشکن طبق رابطه ذیل مشخص می‌شود:

$$A \approx 4(B - B_1)^2 \quad (4-5)$$

که در آن  $A$  سطح محدوده رسوبگذاری  $B$  عرض رودخانه و  $B_1$  عرض رودخانه در محل آبشکن می‌باشد. ضخامت لایه رسوبی ایجاد شده در میدان آبشکن برای یک دوره زمانی موردنظر  $t_f$  از رابطه ذیل بدست می‌آید :

$$h_{ac} \approx gV_s t_f \frac{C_s}{\gamma_d} \quad (5-5)$$



شکل ۲-۵- نحوه توزیع سرعت در محدوده آبشکن منفرد در یک مجرای مستطیلی

در این رابطه  $h_{ac}$  ضخامت رسوب انباشته شده (متر)،  $C_s$  غلظت مواد رسوبی (کیلوگرم بر متر مکعب)،  $\gamma_d$  وزن مخصوص خشک رسوبات تهشین شده (نیوتن بر متر مکعب)،  $t_f$  مدت زمان عبور جریان بر حسب (ثانیه) و  $V_s$  میانگین سرعت سقوط دانه‌ها (متر بر ثانیه) می‌باشد.

مثال ۱: برای رودخانه‌ای با اطلاعات مندرج در جدول ذیل وسعت محدوده رسوبگذاری و حجم رسوب انباشته شده در میدان آبشکن چقدر است. طول آبشکن  $50$  متر و مدت زمان عبور جریان برابر با  $10$  روز می‌باشد.

#### جدول مشخصات جریان و مواد رسوبی در رودخانه موردنظر

$Q$ ( $m^3/sec$ )	$B$ (m)	$B_1$ (m)	$V_s$ (m/sec)	$C_s$ (mg/lit)	$\gamma_d$ Ton/ $m^3$	$t_f$ (hr)
$800$	$200$	$150$	$2 \times 10^{-4}$	$3000$	$1/8 \times 10^{-4}$	$240$

حل:

مساحت محدوده رسوبگذاری در میدان آبشکن:

$$A = 4 (B - B_1)^2 = 4 (200 - 150)^2 = 10000 \text{ متر مربع} \quad (1)$$

ضخامت لایه رسوب انباشته شده در میدان آبشنکن :

$$h_{ac} = gV_s t_f \frac{C_s}{\gamma_s} = 9/81 \times 2 \times 10^{-4} \times 240 \times 3600 \times \frac{3}{1/8 \times 10^{-4}} \\ h_{ac} = 0/28 \text{ متر}$$
(۲)

حجم مواد رسوبی در میدان آبشنکن :

$$V_{cz} = A.hac = 10000 \times 0/28 = 2800 \text{ متر مکعب}$$
(۳)

در صد مواد تهنشین شده نسبت به کل رسوب معلق حمل شده توسط رودخانه در مدت ۱۰ روز :

$$\frac{V_{cz}}{V_t} = \frac{\gamma_d V_{cz}}{g C_s Q t_f} = \frac{1/8 \times 10^4 \times 2800}{9/81 \times 3 \times 800 \times 240 \times 3600} \text{ درصد} \\ ۰/۲۵$$
(۴)

از جمله شرایط لازم برای رسوبگذاری و توزیع مواد رسوبی در محدوده آبشنکنها بسته تشکیل یک هسته چرخشی فراگیر در میدان آبشنکن می‌باشد (در خصوص الگوی جریان در محدوده آبشنکنها و تشکیل هسته چرخشی به مبحث ۴ مراجعه شود). در خصوص میزان انباشت رسوب در فاصله بین دو آبشنکن معادلات خاصی ارائه نگردیده است لکن یک ایده کلی را می‌توان با استفاده از معادله (۵-۵) و با در دست داشتن غلظت و منحنی دانه‌بندی مواد معلق بدست آورد.

## ۲-۵ رسوبگذاری در آبشنکنها باز

در آبشنکنها باز، نظیر آبشنکنها بسته، علت اصلی رسوبگذاری کاهش سرعت جریان می‌باشد. در این نوع آبشنکنها سرعت جریان در برخورد با آبشنکن تا حد سرعت آستانه حرکت دانه‌های رسوب کاهش یافته و شرایط مساعد برای ترسیب مواد رسوبی فراهم می‌گردد. طبق بررسیهای سلاتینا اندازه سرعت جریان در میدان آبشنکن باز از رابطه ذیل تبعیت می‌نماید:

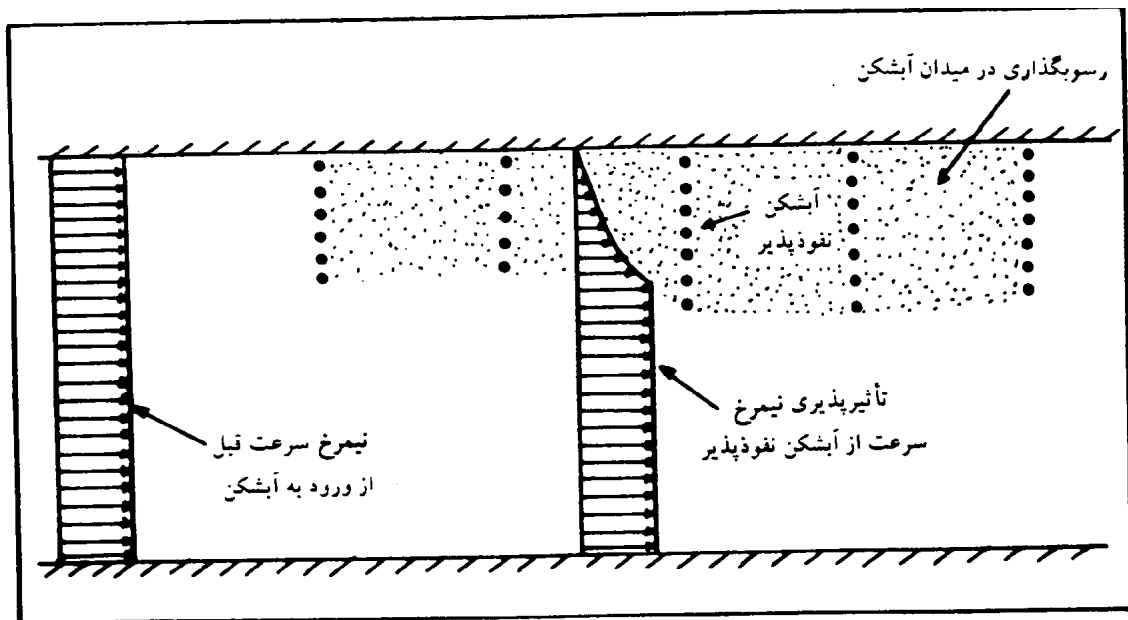
$$V_n = V r_o^n$$
(۶-۵)

در این رابطه  $V_n$  سرعت متوسط جریان در آبشنکن ردیف  $n$ ام،  $V$  سرعت متوسط جریان رودخانه در شرایط عادی (عدم وجود آبشنکن)،  $r_o$  نسبت بازشدگی (که مطابق رابطه ذیل تعریف می‌شود) و  $n$  شماره ردیف آبشنکن است.

$$r_o = \frac{S_d}{(S_d + d)}$$
(۷-۵)

که در آن  $d$  قطر شمع یا پایه و  $S_d$  فاصله بین دو شمع می‌باشد. برای عملکرد مطلوب آبشکنها بهتر است  $33^{\circ} \geq \theta$  منظور شود.

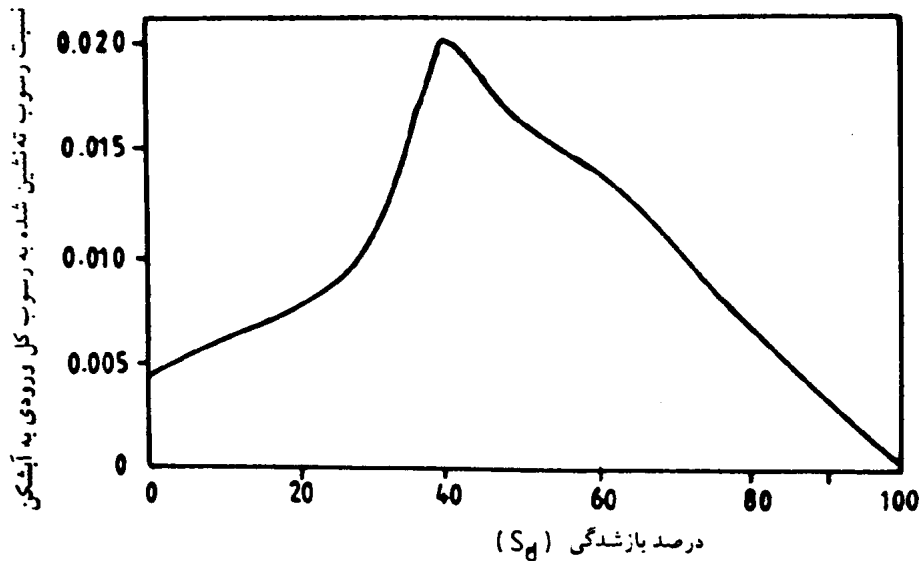
در شکل ۳-۵ چگونگی کاهش سرعت در محدوده آبشکنها باز نشان داده شده است. (علاوه در مبحث ۴ شکل ۴-۷ نمونه‌ای از الگوی توزیع سرعت در محدوده آبشکنها باز نشان داده شده است).



شکل ۳-۵- نمایش چگونگی توزیع سرعت در محدوده آبشکنها نفوذپذیر و ترسیب مواد رسوبی

نسبت بازشدگی ( $r_0$ ) در عملکرد آبشکنها نفوذپذیر تأثیر عمده‌ای دارد. این نسبت با توجه به شرایط و اهداف موردنظر بین  $33^{\circ}$  تا  $80^{\circ}$  درصد تغییر می‌نماید. طبق بررسیهای انجام شده توسط محققین [۵] بیشترین درصد رسوبگذاری در آبشکنها باز یک ردیفه مطابق شکل ۴-۵ برای  $r_0 = 40\%$  می‌باشد. علاوه با استناد به بررسیهای آزمایشگاهی، محدوده حداکثر رسوبگذاری را برای درصد بازشدگی  $40^{\circ}$  تا  $60^{\circ}$  درصد توصیه نموده‌اند [۶]. با افزایش بازشدگی، سرعت جریان آب در میدان آبشکن افزایش یافته و فرصت برای رسوبگذاری رو به کاهش می‌گذارد و بر عکس با کاهش فضای بین شمع‌ها مقدار رسوب ورودی نیز تقلیل یافته و موجب کاهش نرخ رسوبگذاری می‌گردد.

مثال ۲: برای رودخانه‌ای که مشخصات آن در جدول ذیل داده شده است در نظر است از آبشکنهای باز برای تثبیت بستر کناره‌ها استفاده شود. متوسط قطر مواد تشکیل‌دهنده بستر و کناره‌ها (D) برابر با  $49\%$  میلی‌متر می‌باشد. شرایط پایداری در محدوده آبشکنها چگونه است؟



شکل ۴-۵- نمودار تغییر مقدار رسوبگذاری بازاء درصد بازشدنی در آبشکنها باز

جدول مشخصات جریان و اطلاعات دانه‌بندی و درصد بازشدنی

#### آبشکنها باز

Q (m³/sec)	h (m)	V (m/sec)	D (mm)	r <sub>o</sub> (%)
۲۸۳۴	۷/۴	۱/۷	۰/۴۹	۴۰

حل :

-۱ تعیین سرعت بحرانی یا سرعت آستانه حرکت مواد رسوبی :

$$V_c = 1/6 \sqrt{gD} \left( \frac{h}{D} \right)^{1/2} = 1/6 \sqrt{9/81} \times 0/49 \times 10^{-3} \left( \frac{7/4}{0/49 \times 10^{-3}} \right)^{1/2}$$

$$V_c = 0/76 \text{ m/sec}$$

-۲ تعیین متوسط سرعت جریان در میدان آبشکن (برای ردیف اول) :

$$V_1 = V(r_o) = 1/7 \times 0/4 = 0/68 \text{ m/sec}$$

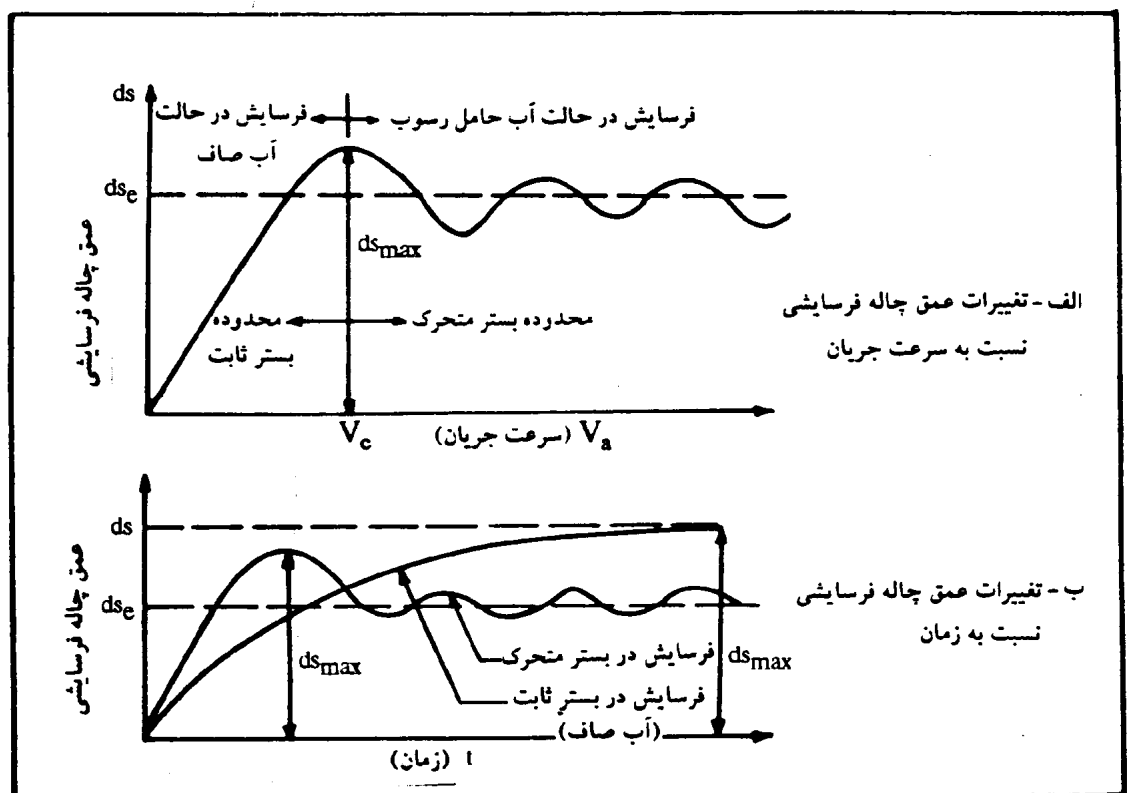
-۳ مقایسه مقادیر سرعت  $V_c$  و  $V_1$  :

نظر به اینکه  $V_1 < V_c$  می‌باشد لذا پس از احداث آبشکن نفوذپذیر شرایط پایداری در بستر و کناره‌ها برقرار می‌گردد.

-۴ بدیهی است در آبشکنها پائین‌دست سرعت باز هم کمتر شده و شرایط پایداری مطمئن‌تری برقرار خواهد بود.

## ۶- تعیین فرسایش در دماغه آبشنکنها

تمرکز جریان و تشدید تلاطم موجب وقوع فرسایش موضعی و تشکیل چاله فرسایشی در دماغه آبشنکنها می‌گردد (در خصوص وضعیت جریان در دماغه آبشنکنها به شکل ۴-۴ مراجعه شود). تعیین عمق فرسایش در دماغه آبشنکنها از جمله موارد مهم و اساسی در طراحی اینگونه سازه‌ها می‌باشد. رشد و توسعه چاله فرسایشی تابعی از نوع و مشخصات آبشنکنها، دانه‌بندی مواد بستره و وضعیت بار رسوی و شرایط هیدرولیکی رودخانه می‌باشد. طبق بررسیهای چیو و ملویل<sup>۱</sup> ساز و کار تشکیل چاله فرسایشی در دماغه آبشنکنها مشابه پدیده فرسایش در پایه پلهای<sup>۲</sup> و دماغه پشتواره<sup>۳</sup> می‌باشد [۷]، [۸]. در شکل ۱-۶ تغییرات عمق چاله فرسایشی بر حسب سرعت جریان ( $U_a$ ) و زمان ( $t$ ) در دماغه یک آبشنکن نشان داده شده است.



شکل ۱-۶- نمایش چگونگی تغییرات عمق چاله فرسایشی بر حسب زمان و سرعت جریان در دماغه آبشنکنها  
برای حالت آب صاف و آب محتوی رسوب

1- Chiew & Melville

2- Bridge Piers

3- Abutment

مطابق شکل ۱-۶ فرسایش در دماغه آبشکنها در دو حالت مشخص قابل بررسی است. در حالت بستر ثابت<sup>۱</sup> یا در شرایط عدم انتقال رسوب و حالت آب صاف<sup>۲</sup> حداکثر عمق چاله فرسایشی ( $ds_{max}$ ) بالتبه بیشتر بوده لکن رسیدن به چنین عمقی مدت زمان زیادی را می طلبد (شکل ۲۳-ب). در حالت بستر متحرک<sup>۳</sup> و به عبارتی در شرایطی که مواد بستر همراه آب حرکت می نمایند حداکثر عمق چاله فرسایشی در مقایسه با حالت اول کمتر بوده و بعلاوه بعد از مدتی مقدار گودافتادگی کاهش یافته و حول یک عمق تعادل نهایی<sup>۴</sup> نوسان می کند ( $ds_e$ ). علت نوسان عمق چاله فرسایشی عبور امواج رسوبی<sup>۵</sup> یا تل ماسه ها از میدان چاله فرسایشی است. در قسمت الف شکل ۱-۶ ۱ پارامتر  $U$  نشان دهنده حد سرعتی است که در آن مواد بستر حرکت خود را آغاز می نمایند. سرعتهای کمتر از  $U$  فرسایش در حالت آب صاف و سرعتهای بیشتر از  $U$  فرسایش در حالت آب محتوی مواد رسوبی را مشخص می نمایند.

## ۱-۶ فرسایش در دماغه آبشکنها بسته

آبشکنها بسته به صورت مانعی غیرقابل نفوذ در مقابل جریان آب عمل می کنند. از اینرو تمکز جریان و اختشاش در دماغه این نوع آبشکنها از شدت بیشتری برخوردار است. یکی از شاخصهای مهم در تعیین مشخصات چاله فرسایشی و پیش بینی موقعیت و دامنه گسترش آن حداکثر عمق چاله فرسایش می باشد. از اوایل سال ۱۹۳۰ تاکنون محققین و متخصصین مختلف بررسیهای آزمایشگاهی و مشاهدات تجربی گوناگونی را برای تعیین حداکثر عمق چاله فرسایش و امکان پیش بینی آن با استفاده از معادلات حاصل از بررسیهای تحقیقاتی انجام داده اند. در جدول ۱-۶ معادلات ارائه شده توسط بعضی از محققین برای تعیین عمق چاله فرسایشی برای آبشکنها بسته درج شده است [۳]. این معادلات حداکثر عمق چاله فرسایشی را در شرایط تعادل نهایی مشخص می نماید [۲ و ۹]. در شکل ۲-۶ موقعیت یک آبشکن بسته همراه با چاله فرسایشی و علائم مورد استفاده در معادلات جدول ۱-۶ نشان داده شده است.

در معادلات فوق :

$ds$  - عمق چاله فرسایشی نظیر حالت تعادل (متر)

$h$  - عمق آب جریان یکنواخت در بالادست آبشکن (عمق جریان نزدیک شونده) به متر

$q$  - بدء در واحد عرض ( $Q/B = q$ ) بر حسب متر مکعب بر ثانیه بر متر

$f$  - ضریب سیلت از رابطه  $D_5 = \sqrt{f} D_5^{5/6}$  که در آن  $D_5$  قطر  $50$  درصد نظیر مواد بستر بر حسب میلی متر می باشد.

$K'$  - ضریبی است که از جدول ۲-۶ بدست می آید.

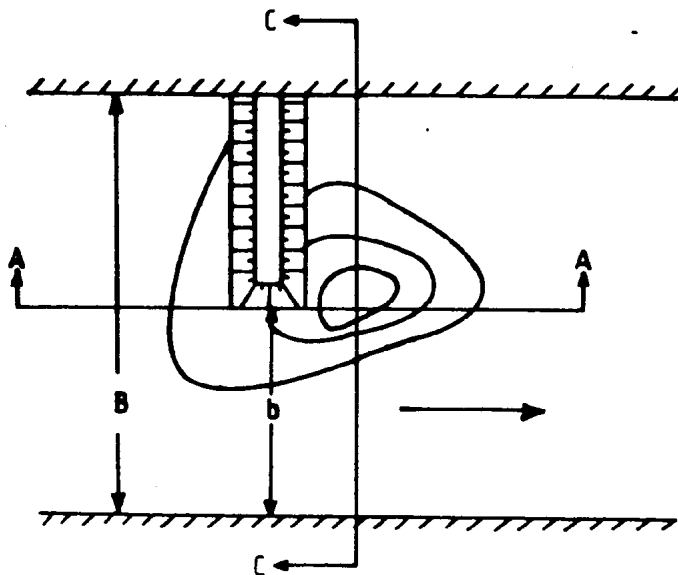
1- Fixed Bed

2- Clear - Water Scour

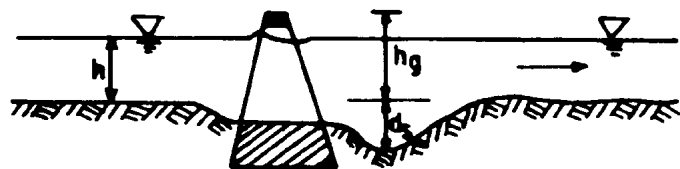
3- Live - bed Scour

4- Equilibrium Depth

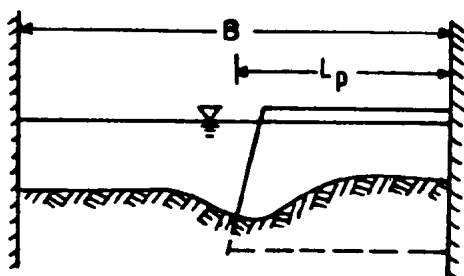
5- Dunes



الف - پلان موقعیت آبشکن



(A - A) مقطع



(C - C) مقطع

ج - طول آبشکن

hg - ارتفاع آبشکن

b - عرض رودخانه در بالادست آبشکن

اب - عمق آب

ds - عمق چاله فرسایشی

B - عرض رودخانه در بالادست آبشکن

شکل ۶-۲- نمونه‌ای از چاله فرسایشی تشکیل شده در دماغه یک آبشکن بسته و جزئیات آن

جدول ۱-۶- بعضی از معادلات مورد استفاده در تعیین عمق چاله فرسایشی در دماغه آبشکنها بسته

ردیف	نام محقق	شماره معادله	معادله	محدوده دانه‌بندی مواد بستر (میلیمتر)	سایر ملاحظات
۱	خوسلای (۱۹۳۶)	(۹)	$\frac{d_s + h}{h} = \frac{0.9 q^{1/3}}{h f^{1/3}}$	-	-
۲	احمد (۱۹۵۳)	(۱۰)	$\frac{d_s + h}{h} = K' \frac{q^{1/3}}{h}$	$0.2 \leq D \leq 0.7$	
۳	گارده و همکاران (۱۹۶۱)	(۱۱)	$\frac{d_s + h}{h} = f_1(C_d) \frac{(F_r)^{1/(C_d)}}{1-n}$	$0.1 \leq n \leq 0.47$ $0.1 < F_r \leq 0.8$	$0.3 \leq D_{50} \leq 2/2$
۴	گیل (۱۹۷۲)	(۱۲)	$\frac{d_s + h}{h} = \lambda^{1/3} \frac{\left(\frac{D_{50}}{h}\right)^{1/25}}{(1-n)^{1/85}}$	$0.13 \leq n \leq 0.4$ $0.2 \leq F_r \leq 0.8$	$0.9 \leq D \leq 1.0$
۵	لیووهیمکاران (۱۹۶۱)	(۱۳)	$\frac{d_s}{h} = 1/1 \left( \frac{L_p}{h} \right)^{1/4} (F_r)^{1/33}$	$D_{50} = 0.6$	برای رودخانه می‌سی‌پی ( $L_p/h > 25$ )
۶	ریچاردسون (۱۹۷۵)	(۱۴)	$\frac{d_s}{h} = 4 F_r^{1/33}$	-	-
۷	لارسن (۱۹۷۵)	(۱۵)	$\frac{L_p}{h} = 2/75 \frac{d_s}{h} [0.087 \left( \frac{d_s}{h} + 1 \right)^{1/7} - 1]$	-	-
۸	نیل (۱۹۷۳)	(۱۶)	$\frac{d_s + h}{h} = \left( \frac{2/1 \rightarrow 2/75}{h} \right) \left( \frac{2/5 q^{1/3}}{9 D_{50}} \right)^{1/33}$	$0.1 \leq D_{50} \leq 2.0$	$0^\circ \leq \alpha < 15^\circ$ $0.1 \leq n \leq 0.5$ $0.18 \leq F_r \leq 0.48$
۹	زاگلول (۱۹۸۳)	(۱۷)	$\frac{d_s}{h} = \frac{2/62}{(18^\circ - \alpha)^{1/43}} * \frac{(F_r)^{1/3}}{1-n}$	$D = 4/5$	$20^\circ \leq \alpha \leq 150^\circ$ $0.5 \leq hg/h \leq 1$ $0.12 \leq F_r \leq 1/6$ $0 \leq m_s \leq 3$ $0.1 \leq n \leq 0.6$
۱۰	بای‌نگوک (۱۹۸۱)	(۱۸)	$\frac{d_s + h}{h} = \frac{1/0.9 \exp[-0.075(m_s + 1)]}{\left( \frac{\alpha}{4.0} \right)^{1/2} \left( \frac{hg}{h} \right)^{1/4} f_1(C_d) (F_r)^{1/(C_d)}}$	$0.33 \leq D \leq 1.0$	

1- Khosla

2- Ahmad

3- Garde et al.,

4- Gill

5- Liu et al.,

6- Richardson

7- Laursen

8- Neill

9- Zaghloul

10- Buy Ngok

$f_r(C_d)$	- از شکل ۳-۶ تعیین می‌شود.
$F_r = \frac{U_a}{\sqrt{gh}}$	- عدد فرود که از رابطه $U_a$ متوسط سرعت جریان آب است.
$L_p$	- طول آبشکن (متر)
$D_50$	- قطر نظیر ۵۰ درصد مواد تشکیل دهنده بستر (متر)
$\alpha$	- زاویه میل آبشکن نسبت به جهت جریان (درجه)
$h_g$	- ارتفاع آبشکن (متر)
$Q$	- بدء جریان به متر مکعب بر ثانیه
$b$	- عرض رودخانه در محل آبشکن بر حسب متر
$n$	- نسبت تنگ شدگی (نسبت طول آبشکن به عرض رودخانه)
$m_s$	- نمای معادله انتقال رسوب

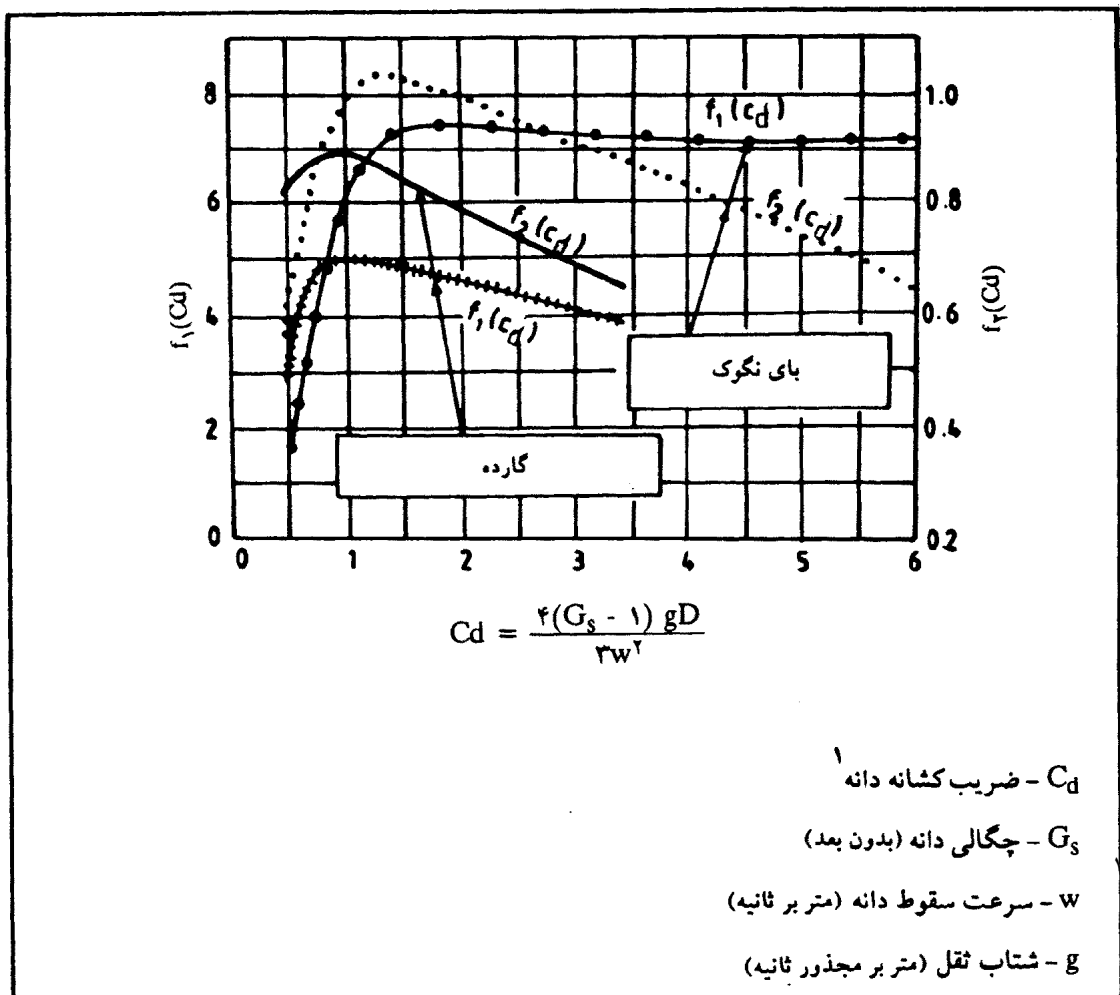
جدول ۲-۶- مقادیر ضریب  $K'$  در معادله احمد (معادله ۱۰)

$K'$	موقعیت آبشکن نسبت به مسیر رودخانه	ردیف
۲/۲۵ - ۲	آبشکن در مسیر قوس خارجی (قوس تند)	۱
۱/۷۵ - ۱/۵	آبشکن در مسیر قوس خارجی (قوس ملایم)	۲
۱/۵ - ۱/۲	آبشکن در مسیر مستقیم با زاویه میل $30^\circ$ تا $90^\circ$ نسبت به امتداد جریان	۳
۱/۷۵ - ۱/۵	آبشکن در مسیر مستقیم با زاویه میل $90^\circ$ تا $150^\circ$ نسبت به امتداد جریان	۴

مثال ۳: در جدول ذیل مشخصات جریان و دانه‌بندی مواد بستر و سایر اطلاعات لازم داده شده است. عمق چاله فرسایشی را در دماغه آبشکن بسته با استفاده از معادلات جدول ۱-۶ تعیین نمایید.

جدول مشخصات جریان، دانه‌بندی مواد بستر و مشخصات آبشکن

$Q$ ( $m^3/sec$ )	$f$ (-)	$D_{50}$ (mm)	$h$ (m)	$b$ (m)	$n$ (-)	$F_r$ (-)	$\alpha$ (درجه)	$L_p$ (m)	$hg$ (m)	$C_d$ (-)
۴۹۰	۵/۸۴	۱۱	۰/۹	۱۲۰	۰/۱۶	۰/۵۹	۹۰	۲۵	۲/۵	۲



شکل ۶-۳-۶- عامل  $f_1(C_d)$  و  $f_2(C_d)$  بصورت تابعی از  $C_d$  مورد استفاده در معادلات گارده و بای نگوک

حل :

با توجه به محدوده دانه‌بندی معادلاتی که از جدول ۱-۶ می‌توان برای تعیین  $d_s$  استفاده کرد شامل معادله خوسلا، ریچاردسون، لارسن، نیل و تا حدودی بای نگوک می‌باشد.

الف - معادله خوسلا

$$\frac{d_s + h}{h} = \frac{0.9}{h} \frac{q^{2/3}}{f^{8/33}}$$

$$\frac{d_s + 0.9}{0.9} = \frac{0.9}{0.9} * \frac{(490/120)^{2/3}}{(5/84)^{8/33}} , d_s = 0.38 \text{ متر}$$

1- Grain Drag Coefficient

ب - معادله ریچاردسون

$$\frac{d_s}{h} = \gamma(F_r)^{0.77}$$

$$\frac{d_s}{0.9} = 0.59^{0.77}, \quad d_s = 0.2 \text{ متر}$$

پ - معادله لارسن

$$\frac{L_p}{h} = 2/75 \frac{d_s}{h} [0.087 (\frac{d_s}{h})^{1/4} - 1]$$

$$\frac{25}{0.9} = 2/75 \frac{d_s}{0.9} [0.087 (\frac{d_s}{0.9} + 1)^{1/4} - 1] \quad \text{و} \quad d_s = 0.75 \text{ متر}$$

ت - معادله نیل

$$\frac{d_s + h}{h} = \frac{2/425}{h} \left( \frac{2/5 q^2}{D_5 0.718} \right)^{0.777}$$

$$\frac{d_s + 0.9}{0.9} = \frac{2/425}{0.9} \left( \frac{2/5 \times 4/0.8^2}{9 \times 11 0.718} \right)^{0.777}, \quad d_s = 0.23 \text{ متر}$$

ث - معادله با نگوک

$$\frac{d_s + h}{h} = \frac{1/0.9 \exp[-0.075(m_s + 1)]}{(1-n)^{0.7}} * \left( \frac{\alpha}{90} \right)^{0.2} \left( \frac{hg}{h} \right)^{0.41} f_1(C_d)(F_r)^{f_2(C_d)}$$

$$\frac{d_s + 0.9}{0.9} = \frac{1/0.9 \exp[-0.075(1/0+1)]}{(1-0.16)^{0.7}} * \left( \frac{90}{90} \right)^{0.2} \left( \frac{2/5}{0.9} \right)^{0.41} 0.5(0.59)^{-1}$$

$$d_s = 0.86 \text{ متر}$$

در جدول ذیل خلاصه نتایج حاصله از معادلات مختلف درج شده است.

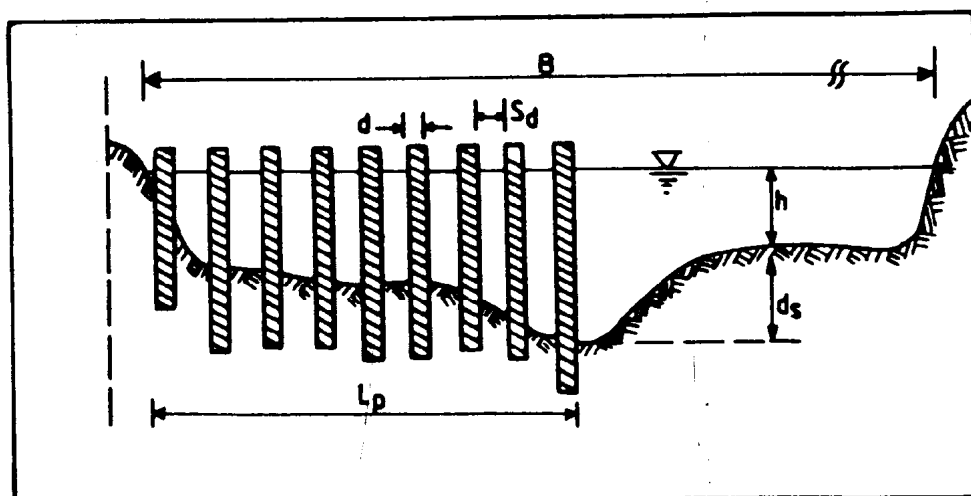
جدول نتایج حاصله از محاسبه  $d_s$  از معادلات مختلف

نام معادله	خوسلا	ریچاردسون	لارسن	نیل	باینگوک	متوسط پنج روش
$d_s$ (متر)	۰/۳۸	۳/۰۲	۵/۷۵	۲/۲۳	۴/۸۶	۳/۲۵

مطابق جدول فوق مقدار  $d_s$  حاصله بازء معادلات مختلف بین  $۰/۳۸$  تا  $۵/۸$  متر متغیر است. این امر اهمیت بررسیهای مدل فیزیکی را برای آگاهی از میزان واقعی  $d_s$  با توجه به شرایط هیدرولیکی و سایر عوامل تأثیرگذار بر پدیده فرسایش موضعی در دماغه آبشکنها به خوبی آشکار می‌نماید. در عین حال رقم متوسط حاصله از روش‌های چندگانه حدودی از میزان  $d_s$  را برای تعیین مقدماتی مشخصات کلی آبشکنها ارائه می‌دهد (در خصوص مثال فوق  $d_s$  متوسط پنج روش همانطوریکه در جدول درج شده است برابر با  $۳/۲۵$  متر می‌باشد).

## ۲-۶ فرسایش در دماغه آبشکنها باز

در آبشکنها باز برخلاف آبشکنها بسته بخشی از جریان رودخانه‌ای از میدان آبشکن عبور می‌نماید و دیواره آبشکن قسمتی از جریان فعال را منحرف می‌کند و تشکیل چاله فرسایشی را سبب می‌گردد. ولی به لحاظ نفوذپذیری‌بودن سازه، عمق چاله فرسایشی در مقایسه با آبشکنها بسته بطور محسوسی کمتر می‌باشد. در شکل ۴-۶ چگونگی تشکیل چاله فرسایشی در دماغه یک آبشکن باز نشان داده شده است. براساس تحقیقات آزمایشگاهی و تجارب عینی معدد معادلاتی برای تعیین  $d_s$  در آبشکنها باز توسط کارشناسان ارائه شده است.



شکل ۴-۶- نمایش چگونگی تشکیل چاله فرسایشی در آبشکن باز

از جمله اورلوف<sup>۱</sup> معادله‌ای برای تعیین حداکثر عمق فرسایش در دماغه آبشکن باز بصورت ذیل معرفی کرده است:[۲]

$$d_s = 50 r_b^{1/5} \frac{U_a^2}{2g} \quad (1-6)$$

در رابطه فوق  $d_s = \frac{d}{S_d + d}$  درجه انسداد آبشکن،  $d$  قطر شمعها،  $S_d$  فاصله آزاد بین شمعها،  $U_a$  سرعت جریان در بالادرست آبشکن و  $d_s$  حداکثر عمق فرسایش می‌باشد.

رابطه (۱-۶) حداکثر عمق فرسایش را برای اولین ردیف آبشکن مشخص می‌نماید. آلتونین<sup>۲</sup> پس از بررسی داده‌های جمع‌آوری شده توسط آمبارتsumyan<sup>۳</sup> فرمول ذیل را برای تعیین  $d_s$  ارائه نمود:

$$d_s = \frac{8/75}{D_{50}} \frac{L_p}{B} r_b^{1/2} \frac{U_a^2}{2g} \quad (2-6)$$

در این رابطه  $L_p$  طول آبشکن،  $B$  عرض رودخانه (شکل ۴-۶) و  $D_{50}$  قطر نظیر ۵۰ درصد مواد بستر (بر حسب میلی‌متر) می‌باشد. معادله‌ای نیز توسط محمداف و همکاران<sup>۴</sup> برای تعیین  $d_s$  بصورت زیر معرفی گردیده است [۱۰]:

$$d_s = K_1 \left( \frac{K_2 q}{\sqrt[3]{K_3 D_{50}}} \right)^{1/8} - h \quad (3-6)$$

که در آن مقادیر  $K_1$ ،  $K_2$  و  $K_3$  از روابط زیر بدست می‌آید:

$$K_1 = (1 + \varepsilon)^{1/25} \quad (4-6)$$

$$K_2 = 1 + \varepsilon^{1/5} \quad (5-6)$$

$$K_3 = \sqrt[3]{1 + 3C_s^{1/3}} \quad (6-6)$$

در روابط مذکور مقدار  $\varepsilon$  برابر است با:

$$\varepsilon = K_4^{-1} - 1 \quad (7-6)$$

و داریم:

$$K_4 = 1/1 [(1/5 \frac{S_d}{d} + 1)^{-1} + (1/5 \frac{S_d}{d} + 1)^{-1}] + 1 \quad (8-6)$$

1- Orlov

2- Altunin

3- Ambartsumyan

4- Mukhamedov, & et al.

در روابط فوق  $C_s$  غلظت مواد رسوبی بر حسب کیلوگرم بر مترمکعب ( $\text{kg/m}^3$ ) و  $\epsilon$  ضریب افت می‌باشد که از رابطه (۶-۷) و یا جدول ۳-۶ بدست می‌آید. معادلات فوق در سیستم متریک می‌باشند.

جدول ۳-۶- مقادیر ضریب افت ( $\epsilon$ ) بر حسب نسبت بازشدگی ( $S_d/d$ ) در آبشکن‌های باز

۳	۲/۵	۲	۱/۵	۱	۰/۵	$S_d/d$
۰/۴۷	۰/۶	۰/۸۱	۱/۱۴	۱/۷۷	۳/۲۶	$\epsilon$

مثال ۴: براساس مشخصات داده شده در جدول ذیل عمق چاله فرسایشی را در دماغه آبشکن نفوذپذیر تعیین نماید.  
چنانچه آبشکن غیرقابل نفوذ فرض شود عمق چاله فرسایشی چقدر خواهد بود؟

جدول مشخصات جریان، دانه‌بندی مواد بستر و مشخصات آبشکن

Q ( $\text{m}^3/\text{sec}$ )	$D_{50}$ (mm)	$D_{90}$ (mm)	n	h (m)	$h_g$ (m)	B (m)	$U_a$ ( $\text{m/sec}$ )	$L_P$ (m)	d (m)	$S_d$ (m)	$C_s$ ( $\text{kg/m}^3$ )	$C_d$ (-)	$\alpha$ (درجه)
۲۲۰	۰/۳	۰/۷	۰/۳	۲/۳	۳	۱۰۰	۰/۹۶	۳۰	۰/۳	۰/۹	۰/۶	۱/۵۱	۹۰

حل:

الف - معادله اورلوف

$$d_s = 5 \cdot r_b^{1/5} \frac{U_a}{2g}$$

$$d_s = 5 \cdot \left( \frac{0/3}{0/9+0/3} \right)^{1/5} \frac{(0/96)^2}{2 \times 9/81} = 0/29 \text{ متر}$$

ب - معادله آلتونین

$$d_s = \frac{1/75}{D_{50}} * \frac{L_P}{B} r_b^{1/2} \frac{U_a}{2g}$$

$$d_s = \frac{1/75}{0/3} * \frac{30}{100} * (0/25)^{0/5} * \frac{(0/96)^2}{2 \times 9/81} = 0/2 \text{ متر}$$

پ - معادله محمداف :

$$d_s = K_1 \left( \frac{K_2 q}{\gamma / \eta K_3 D_{q_0}} \right)^{\circ / \lambda} - h$$

مقدار  $\varepsilon$  از جدول ۳-۶ برای  $3^{\circ}/47$  می باشد. در نتیجه داریم :

$$K_1 = (1 + \varepsilon)^{\circ / 25} = (1 + 0.047) ^{\circ / 25} = 1.1$$

$$K_2 = 1 + \varepsilon^{\circ / \lambda} = 1 + (0.047)^{\circ / \lambda} = 1.685$$

$$K_3 = 1 + 3(0.6)^{2/3} = 1.77$$

با قراردادن مقادیر معلوم در معادله محمداف داریم :

$$d_s = 1.1 \left( \frac{1.685 \times (220/100)}{\gamma / \eta \times 1.77 \times (0.0007)^{\circ / 25}} \right)^{\circ / \lambda} - 2/3 = 0.68 \text{ متر}$$

ت - در صورتیکه آبشکن غیرقابل نفوذ فرض شود مقدار  $d_s$  از معادله گارده و نیل (بعنوان نمونه) عبارت است از :

الف - معادله گارده

$$\frac{d_s + h}{h} = f_1(C_d) \frac{(F_r)^{f_1(C_d)}}{1 - n}$$

با توجه به مقدار  $C_d = 1/51$  از شکل ۲۵ داریم :

$$f_1(C_d) = 0.85 \quad \text{و} \quad f_1(C_d) = 5$$

$$\frac{d_s + 2/3}{2/3} = 5 \frac{(0.96 / 0.81 \times 2/3)^{\circ / 85}}{(1 - 0.3)} \quad \text{و} \quad d_s = 1.92 \text{ متر}$$

## ب - معادله نیل

$$\frac{d_s + h}{h} = \frac{2/425}{h} \left( \frac{2/5 q^2}{D^{0.318}} \right)^{0.333}$$

$$\frac{d_s + 2/3}{2/3} = \frac{2/425}{2/3} \left( \frac{2/5 \times 2/2}{9(0/0003)^{0.318}} \right)^{0.333} \text{ متر} \quad d_s = 4/0 \text{ و}$$

در جدول زیر نتایج حاصله از معادلات مختلف برای مقایسه درج شده است.

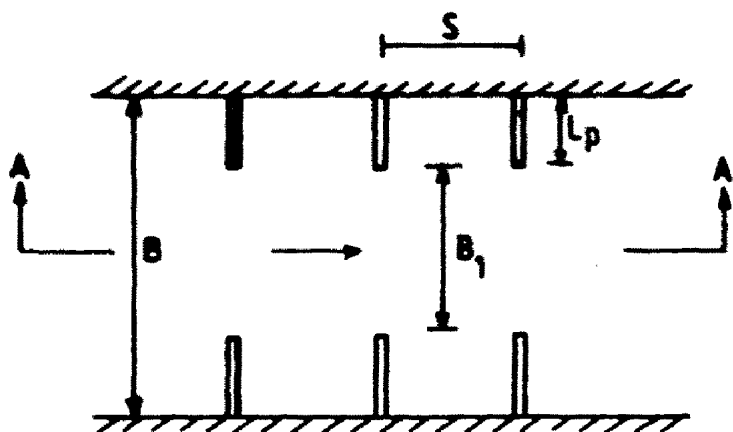
جدول مقادیر  $d_s$  محاسبه شده از معادلات مختلف در مثال ۴

حالت مورد نظر	آبشکن باز			آبشکن بسته		
	نوع معادله	اورلف	آلتونین	محمداف	گارده	نیل
$d_s$ (متر)	۰/۲۹	۰/۲	۰/۶۸	۱/۹۲	۴	

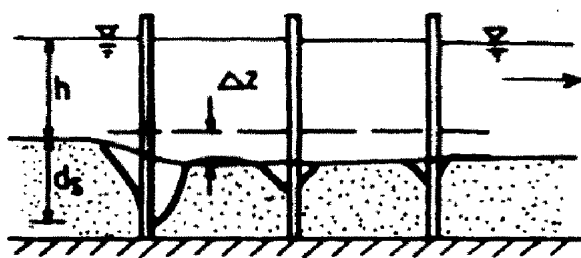
مطابق جدول فوق عمق چاله فرسایشی در دماغه براساس معادلات مختلف برای آبشکن باز بین  $2/0/68$  تا  $2/0/2$  متر می‌باشد که در مقایسه با فرض آبشکن بسته که ارقام قریب ۲ تا ۴ متر را نشان می‌دهد بطور محسوسی کم می‌باشد. بعلاوه مقادیر حاصله مربوط به آبشکن ردیف اول است و برای ردیفهای بعدی طبعاً عمق چاله فرسایشی کمتر خواهد بود.

## ۷- فرسایش عمومی ناشی از احداث آبشکنها

با احداث آبشکن عرض رودخانه کاهش یافته و با افزایش بدء ویژه (شدت جریان در واحد عرض) توان حمل رسوب یا قدرت انتقال جریان به تبع آن رو به افزایش می‌گذارد. این پدیده افت عمومی تراز بستر و به عبارتی وقوع فرسایش عمومی<sup>۱</sup> را در پی دارد. در شکل ۱-۷ کاهش عرض ناشی از احداث آبشکن و گودافتادگی عمومی بستر ( $\Delta z$ ) نشان داده شده است.



الف - پلان آرایش آبشكها



ب - مقطع A - A

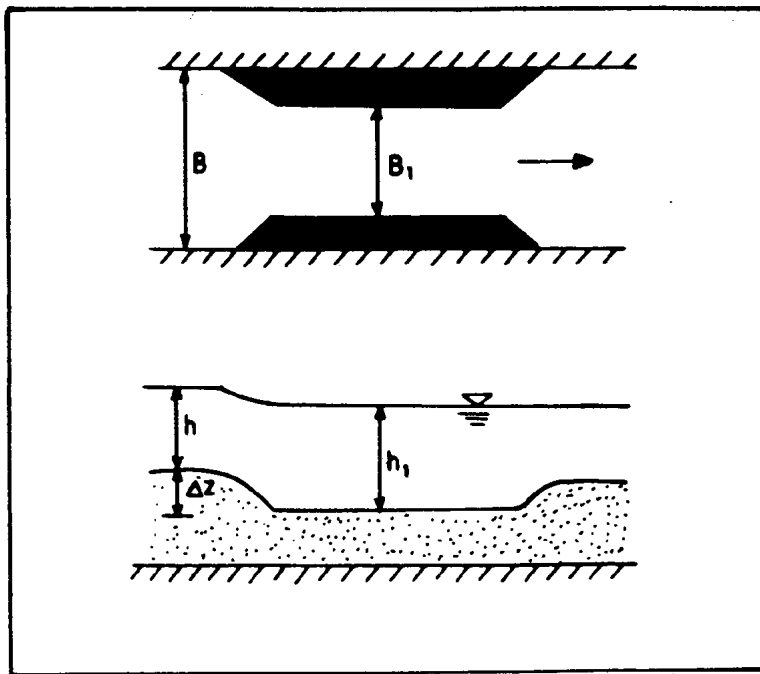
شکل ۱-۷- نمایش فرسایش عمومی ناشی از احداث سری آبشكها

(فرسایشهای موضعی در دماغه آبشكها نیز نشان داده شده است)

برای تعیین  $\Delta Z$  معادلات مختلفی در دسترس می‌باشد. این معادلات عمدتاً برای حالت تنگ‌شدگی ممتد<sup>۱</sup> مطابق آنچه که در شکل ۲-۷ نشان داده شده است استخراج شده‌اند. در عین حال با اعمال اصلاحاتی می‌توان برای آبشكها نیز از آنها بهره جست.

از جمله روابط موجود برای تعیین  $\Delta Z$  رابطه کمورا<sup>۲</sup> می‌باشد [۱۱].

$$\frac{\Delta Z}{h} = \left(1 + \frac{1}{2} F_r\right) \left[ \left(\frac{B}{B_1}\right)^{2/3} - 1 \right] \quad (1-7)$$



شکل ۲-۷- الگوی فرسایش عمومی در یک تنگ شدگی ممتد

رابطه دیگری توسط می چیو و همکاران برای تعیین عمق فرسایش نسبی بصورت ذیل ارائه شده است [۱۲].

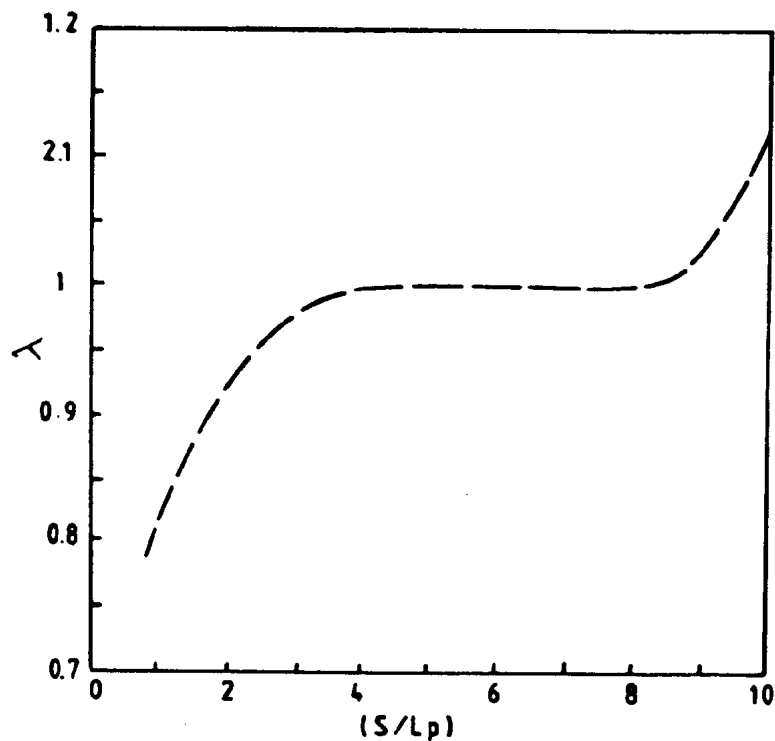
$$\frac{\Delta Z}{h} = \left[ \left( \frac{B_1}{B} \right)^{-4/7} - 1 \right] + (0.5 F_r) \left[ \left( \frac{B_1}{B} \right)^{-6/7} - 1 \right] \quad (2-7)$$

گیل با مرور به تجربه موجود و با انجام مطالعات بیشتر رابطه سومی برای تعیین  $\Delta Z$  ارائه کرده است [۱۳].

$$\frac{\Delta Z}{h} = \left( \frac{B_1}{B} \right)^{-6/7} \left[ \left( \frac{B_1}{B} \right)^{-2/3} \left( 1 - \frac{\tau_c}{t} \right) + \frac{\tau_c}{t} \right]^{-3/7} - 1 \quad (3-7)$$

در روابط فوق  $F_r$  عدد فرود قبل از تنگ شدگی مقطع،  $\tau_c$  و  $t$  به ترتیب تنش برشی و تنش برشی بحرانی در بستر می باشند.

سوژوکی و همکاران تأثیر طول ( $L_p$ ) و فاصله آبشکنها ( $S$ ) را در میزان  $\Delta Z$  مورد بررسی قرار داده و یک نمودار تجربی مطابق شکل ۳-۷ ارائه نمودند [۱۴]. مطابق نمودار مذبور ضریب اصلاحی  $\lambda$  بصورت تابعی از نسبت  $\frac{S}{L_p}$  معرفی شده است. برای تعیین  $\Delta Z$  حاصل از احداث آبشکنها لازم است کمیت  $B_1$  به ضریب اصلاحی ضرب و سپس در معادلات مربوط (روابط (۱-۷)، (۲-۷) و (۳-۷)) قرار داده شود. بررسی شکل ۳-۷ گویای این واقعیت است که برای نسبت بازشدگی ۴ تا ۸ مقدار  $\lambda$  برابر با یک بوده و روابط (۱-۷) تا (۳-۷) به همان صورت اصلی می توانند استفاده شوند. برای مقادیر  $\frac{S}{L_p}$  کمتر از ۴ و بیشتر از ۸ مقدار  $\lambda$  به ترتیب کمتر و یا بیشتر از یک می باشد.



شکل ۳-۷- نمودار تغییرات  $\lambda$  بازاء ( $S/L_p$ ) در شرایط کاهش عرض توسط آبشکنها

مثال ۵: مقدار افت عمومی بستر را در بازه‌ای از یک رودخانه که توسط دیواره‌های آبشکن محدود گردیده است با توجه به اطلاعات داده شده در جدول ذیل تعیین نمائید.

B (m)	$B_1$ (m)	$F_r$ (-)	h (m)	I (-)	$D_{75}$ (mm)	S (m)	$L_p$ (m)	$G_s$ (-)
۱۲۰	۹۵	۰/۶	۰/۹	$5 \times 10^{-3}$	۲۱	۵۰	۲۵	۰/۶۵

حل: برای تعیین  $\Delta Z$  نخست لازم است ضریب تصحیح  $\lambda$  از شکل ۳-۷ مشخص شود:

$$\frac{S}{L_p} = \frac{50}{25} = 2 \quad \text{و} \quad \lambda = 0/92$$

الف - معادله کمورا:

$$\frac{\Delta Z}{h} = (1 + 1/2 F_r^2) \left[ \left( \frac{B}{B_1} \right)^{2/3} - 1 \right]$$

$$\frac{\Delta Z}{0/9} = (1 + 1/2(0/6)^2) \left[ \left( \frac{120}{0/92 \times 95} \right)^{2/3} - 1 \right] \quad \text{و} \quad \Delta Z = 0/3 \text{ متر}$$

ب - معادله می چیو :

$$\frac{\Delta Z}{h} = \left[ \left( \frac{B_1}{B} \right)^{-4/7} - 1 \right] + \left( \frac{0.5 F_r}{0.6} \right) \left[ \left( \frac{B_1}{B} \right)^{-6/7} - 1 \right]$$

$$\frac{\Delta Z}{0.9} = \left[ \left( \frac{0.92 \times 95}{120} \right)^{-4/7} - 1 \right] + \left( \frac{0.5 \times 0.6}{0.6} \right) \left[ \left( \frac{0.92 \times 95}{120} \right)^{-6/7} - 1 \right]$$

$$\Delta Z = 0.23 \text{ متر}$$

پ - معادله گیل :

$$\frac{\Delta Z}{h} = \left( \frac{B_1}{B} \right)^{-6/7} \left[ \left( \frac{B_1}{B} \right)^{-2/3} \left( 1 - \frac{t_c}{t} \right) + \frac{t_c}{t} \right]^{-3/7} - 1$$

$$\tau = \gamma y S = 10^4 \times 0.9 \times 5 \times 10^{-3} = 45 \text{ نیوتون بر متر مربع}$$

$$\tau_c = 0.06 (G_s - 1) \gamma D_{75} = 0.06 (2/65 - 1) \times 10^4 \times 0.021 = 20/8 \text{ نیوتون بر متر مربع}$$

$$\frac{\Delta Z}{0.9} = \left( \frac{0.92 \times 95}{120} \right)^{-6/7} \left[ \left( \frac{0.92 \times 95}{120} \right)^{-2/3} \left( 1 - \frac{20/8}{45} \right) + \frac{20/8}{45} \right]^{-3/7} - 1$$

$$\Delta Z = 0.22 \text{ متر}$$

در جدول زیر نتایج حاصل از روش‌های سه‌گانه درج شده است.

جدول نتایج حاصل از روش‌های مختلف در تعیین  $\Delta Z$

روش	گیل	می چیو	کمورا
$\Delta Z$ (متر)	0.22	0.23	0.23

مطابق جدول فوق مقادیر  $\Delta Z$  حاصل از روش‌های مختلف اختلاف چندانی با یکدیگر ندارند.

## فهرست منابع و مأخذ -۸

- [1]- Przedwojski,B. (1995), "River Training Techniques", A.A., Balkema, The Netherlands.
- [2]- Jansen,P.P. et al., (1983), "Principles of River Engineering", Pitman Pub. Co., England.
- [3]- Blench,T. (1969), "Mobile - bed Fluviology", Alberta, Canada.
- [4]- Henderson,F.M. (1966), "Open Channel Flow", Macmillan pub. Co., U.S.A.
- [۵]- خیراله، ل. و ج. وطن فدا، بررسی عملکرد آبشکن شمع کوبی به لحاظ رسوبگذاری (جلد اول)، وزارت نیرو، معاونت امور آب، دی ماه ۱۳۷۵.
- [6]- Zarrati,A.R. and R. Espandar, (1998), "Sedimentation between pile groynes with horizontal elements", 3-rd Int. Conference in Hydroscience & Engineering, Germany.
- [7]- Chiew,Y.M. (1984), "Local scour at bridge piers", School & Engineering, Rep. No. 355, Auckland.
- [8]- Melville,B.W. (1984), "Live - bed scour at bridge piers," J. of Hydr. Eng., ASCE 110(9), Sept.
- [9]- Simons,D.S. & F. Senturk, (1992), "Sediment Transport Technology," Book Crafters, Inc., U.S.A.
- [10]- Mukhamedov,A.M. & et al., (1971), "Study of local scour and kinematic structure of flow around solid and through spur - dikes," Proc. of the 14 th Congress of IAHR, Paris.
- [11]- Komura,S. (1971), "River - bed variation at long constrictions". Proc. of 14 th Congress of IAHR, Vol.3, Aug. 29 - Sept.3.
- [12]- Michiue,M. et al., (1984), "Formation of low - water bed by spur - dikes in alluvial channel," Proc. 4th APD - IAHR.
- [13]- Gill,M.A. (1972), "Erosion of sand beds around spur - dikes", ASCE, J. of Hydr. Div.
- [14]- Suzuki,K. et al., (1987), "Local bed form around a series of spur - dikes in alluvial channels", 22nd Congress of IAHR, Proc. of Technical Session.

Islamic Republic of Iran

# **Scour and Deposition Around Groyens**

**No: 248**

Management and Planning Organization  
Office of the Deputy for Technical Affairs  
Bureau of Technical Affairs and Standards

Ministry of Energy  
Water Engineering Standards Plan  
Iran Water Resources Management Organizati

2002/2003

## این نشریه

با عنوان «فرسایش و رسوبگذاری در محدوده آشکنها» با هدف شناخت الگوهای مختلف فرسایش و رسوبگذاری در محدوده آشکنها و ارائه راهکارهای عملی برای تعیین کمی آنها ارائه شده است. به لحاظ اهمیت پدیده در طراحی اینگونه سازه‌ها سعی گردیده معادلات و روابط مختلف متدالول در ارزیابی میزان فرسایش بازه‌ای و موضوعی با بطره‌گیری از مثالهای کاربردی معرفی گردد. به علاوه بخشی نیز به روش‌های تعیین میزان رسوبگذاری در میدان آشکنها به ویژه آشکنهای باز اختصاص دارد. در این خصوص به مواردی از مطالعات انجام شده در کشور نیز اشاره شده است.

معاونت امور پشتیبانی  
مرکز مدارک علمی و انتشارات

ISBN 964-425-362-0



9 789644 253621